

Модели нелинейного мира

www.biophys.msu.ru

Лекция 9

Галина Юрьевна Ризниченко

Каф. биофизики Биологического ф-та Московского
государственного университета им.

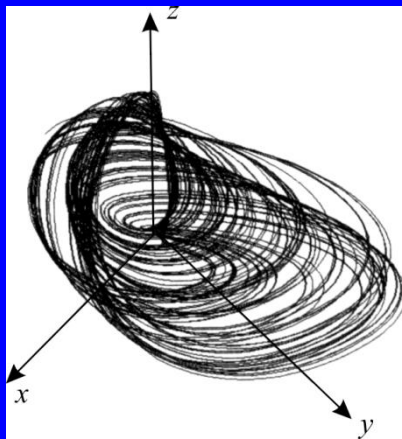
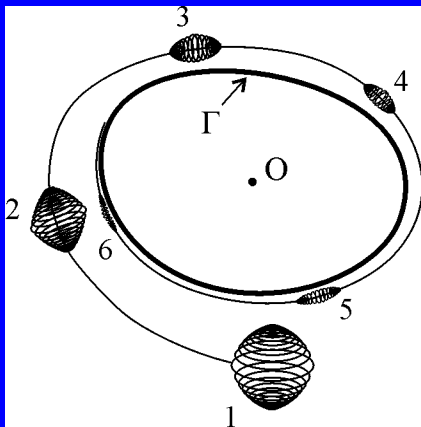
М.В.Ломоносова, к.119

тел: +7(095)9390289; факс: (095)9391115;

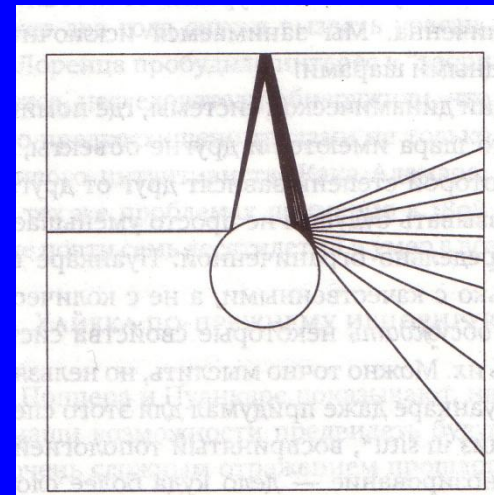
E-mail: riznich@biophys.msu.ru



mathbio.ru



Г.Ю Ризниченко



Динамический хаос



Публий Овидий
Назон (43 до н.э.
– 18 н.э)

Овидий. Метаморфозы 1.5

пер. С.В.Шервинского

Не было моря, земли и над всем распростертого неба
Лик был природы един на всей широте мироздания, -
Хаосом звали его. Нечлененной и грубой громадой,
Бременем косным он был, - только, - где собраны были
Связанных слабо вещей семена разносущные вкупе.

Фото Роберта Гендлера. Созвездие стрельца



- Бесформенная совокупность материи и пространства (Противоположно Космосу – упорядоченности). Все рождается из Хаоса (древнегреческое).
- Беспорядок, неразбериха, смешение. Значение появилось в ранне-христианские времена

Динамический хаос. Основные ПОНЯТИЯ

- *Основные понятия теории динамических систем.*
- *Предельные множества. Аттракторы.*
- *Странные аттракторы. Динамический хаос.*
- *Размерность странных аттракторов.
Фракталы*

χαος

CHAOS



Александр
Юрьевич
Лоскутов
1960-2011

Weather

Э.Лоренц



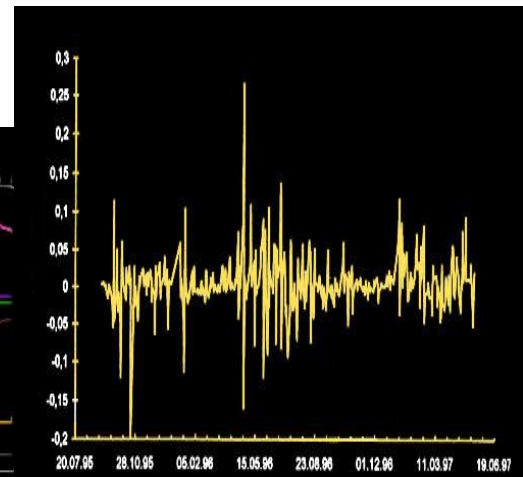
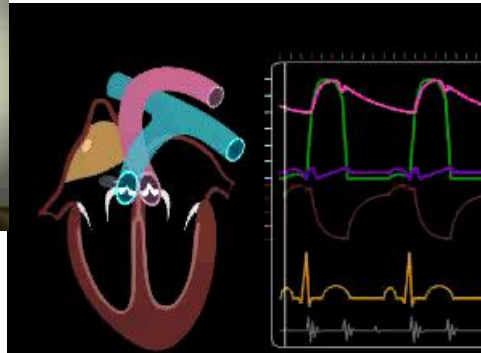
Chemical
Kinetics



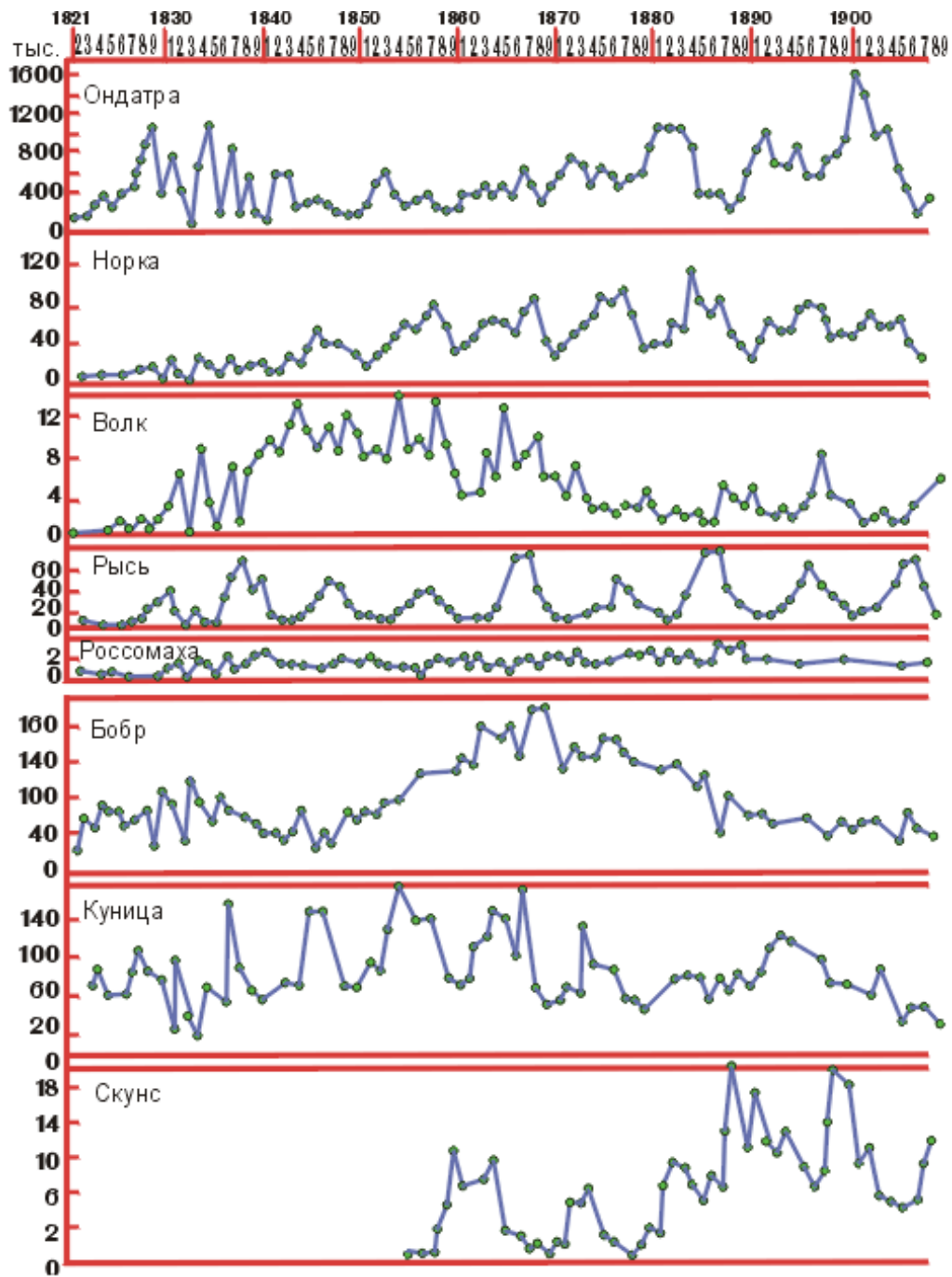
BZ-reaction

Белусов и
Жаботинский

Heart rhythm

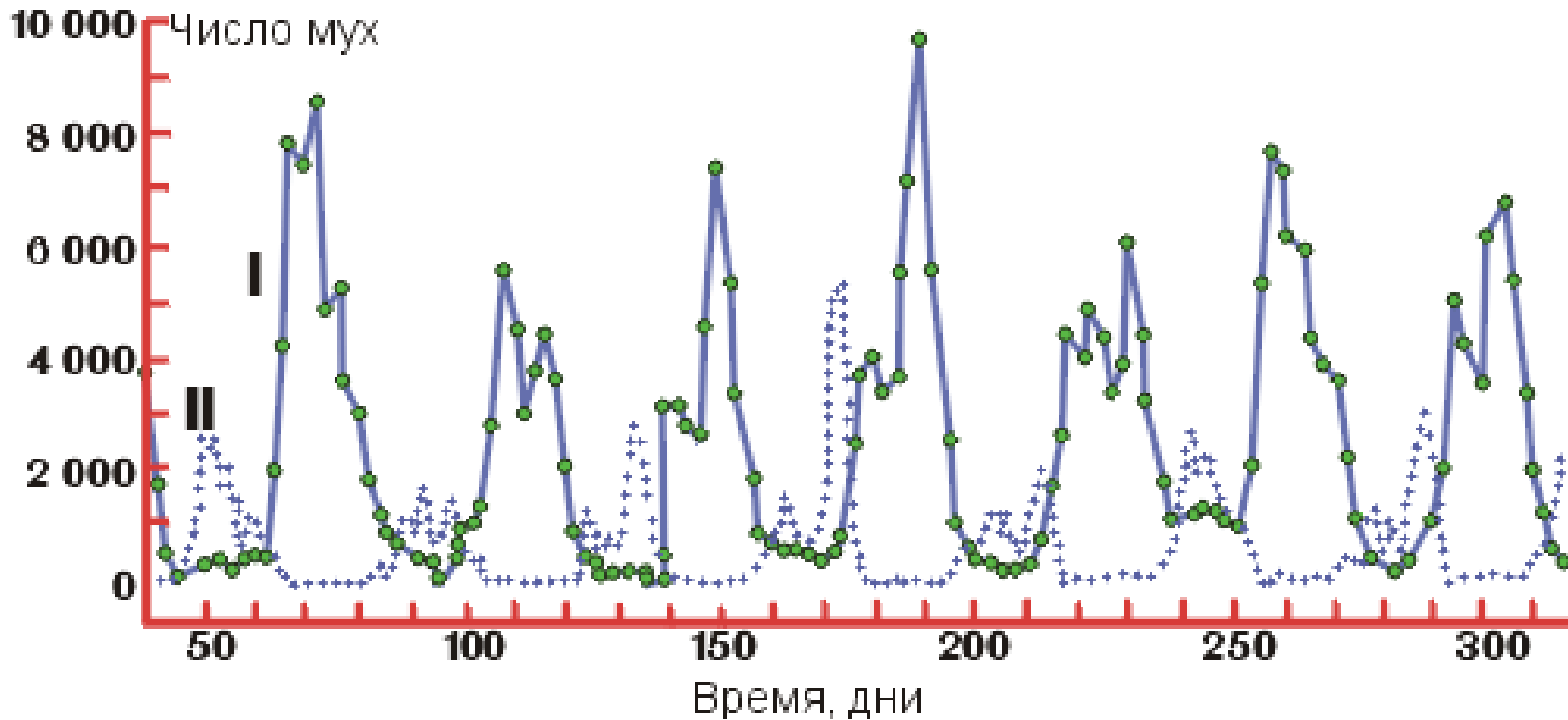


Биржевые
индексы



Данные по заготовкам пушнины компании Гудзонова Залива

Динамика численности плодовой мушки



Биржевые индексы

Индекс S&P 500, график от Financial Times



Nov 08

Индекс Доу-Джонс 1929-1933

Индекс Dow Jones Industrials (июнь 1929 – май 1933)

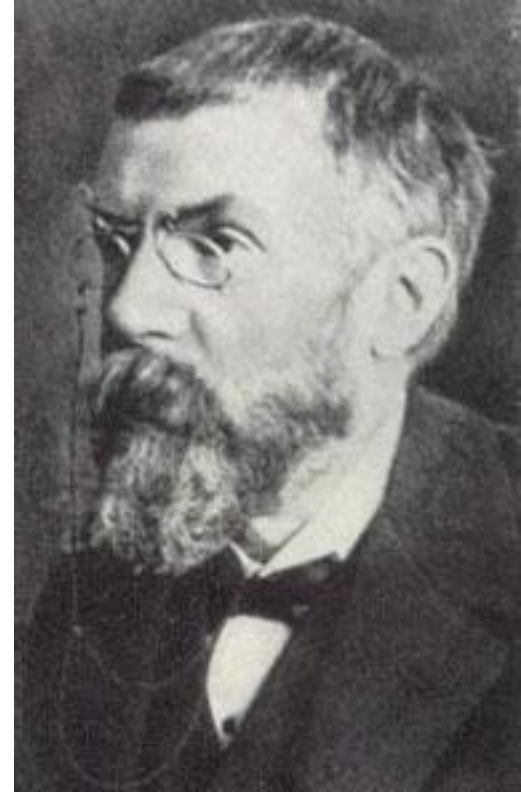
StockJock-е: ралли на «медвежьих» рынках всегда впечатляют! Но тех, кто поймал верх... не так сильно.



Анри Пуанкаре –

великий французский математик
в книге «Наука и метод» в 1908 г. писал:

«В неустойчивых системах совершенно ничтожная причина, ускользающая от нас по своей малости, вызывает значительные действия, которые мы не в состоянии предугадать... Предсказание становится невозможным, мы имеем перед собой явление случайное».



Лоренц

Lorenz EN (1963)
Deterministic non-periodic
flow. J.Atmos. Sci: 20, 131-141

Конвекция в подогреваемом снизу слое жидкости,
модель водяного колеса, одномодовый лазер, диссипативный
осциллятор с инерционным возбуждением

$$\dot{x} = \sigma y - \sigma x,$$

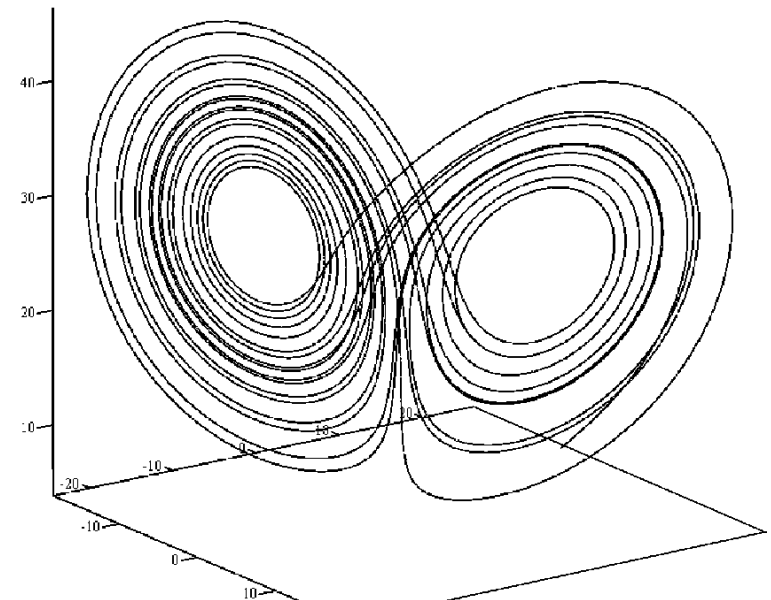
$$\dot{y} = rx - y - xz,$$

$$\dot{z} = xy - bz.$$

$$r=28, s=10,$$

$$b=8/3$$

Хаотические траектории в
системе Лоренца

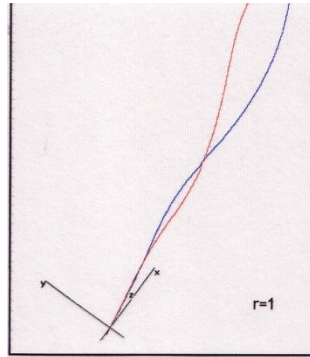


•**Одномодовый лазер.** Здесь x — амплитуда волн в [резонаторе](#) лазера, y — [поляризация](#), z — инверсия населённости [энергетических уровней](#), b и σ — отношения коэффициентов [релаксации](#) инверсии и поля к коэффициенту релаксации поляризации, r — интенсивность [накачки](#).

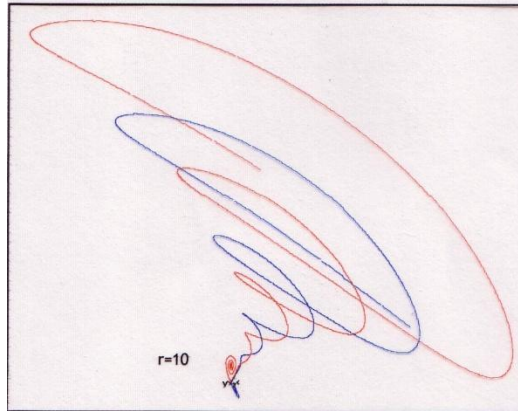
Игорь Федик
каф. биофизики

$$\begin{aligned}\dot{x} &= \sigma y - \sigma x, \\ \dot{y} &= rx - y - xz, \\ \dot{z} &= xy - bz.\end{aligned}$$

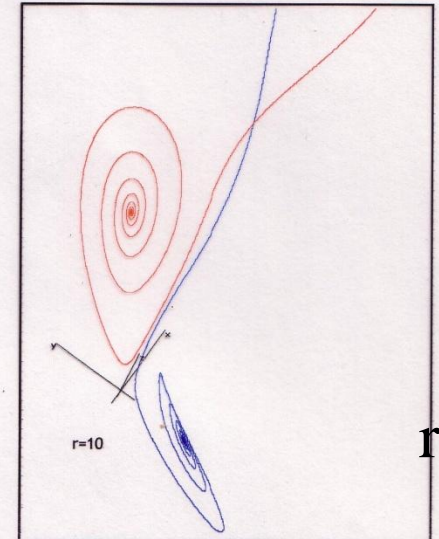
Траектории
системы
Лоренца при
разных
значениях
параметра
 r



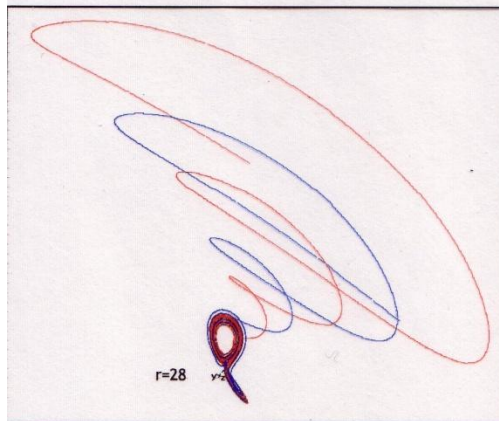
$r=1$



$r=10$

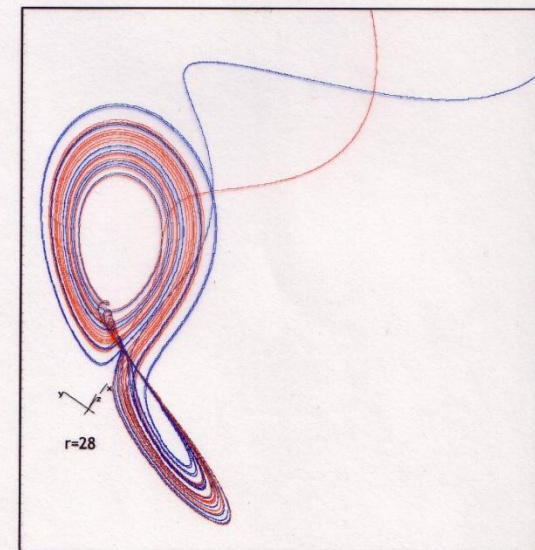


$r=10$



$r=28$

$r=28$



$r=28$

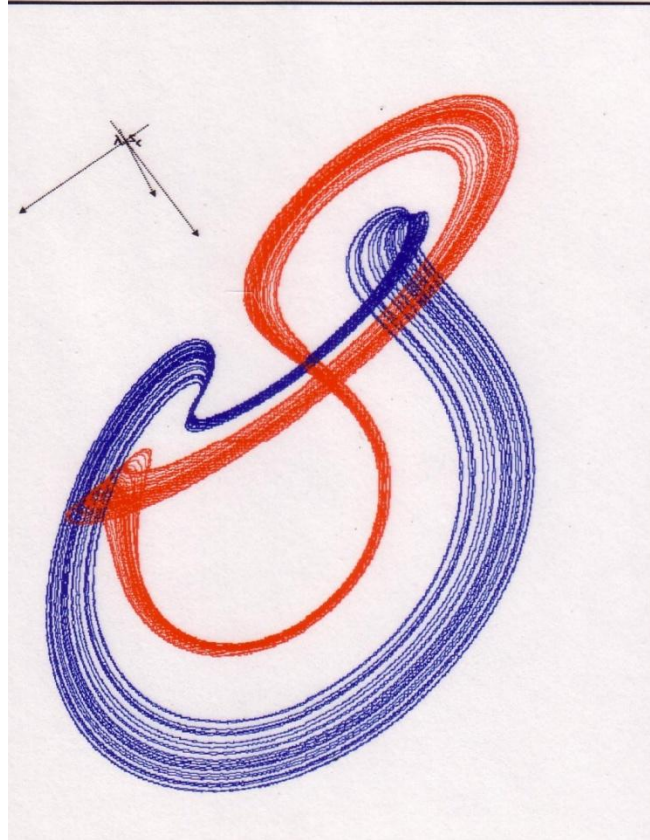
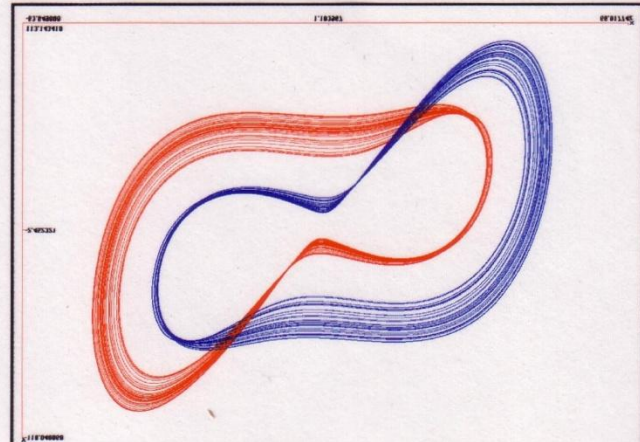
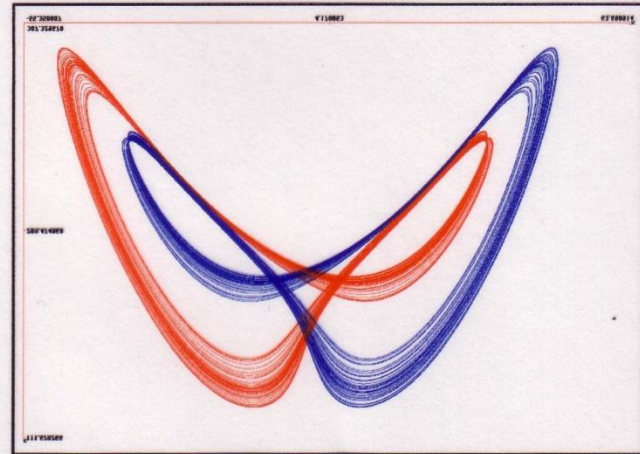
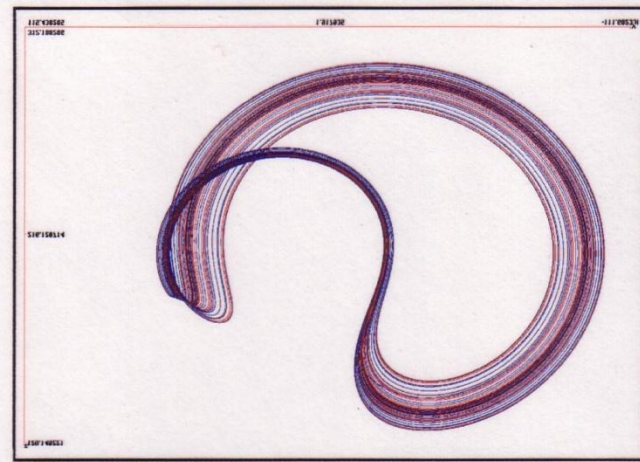
Система Лоренца 1



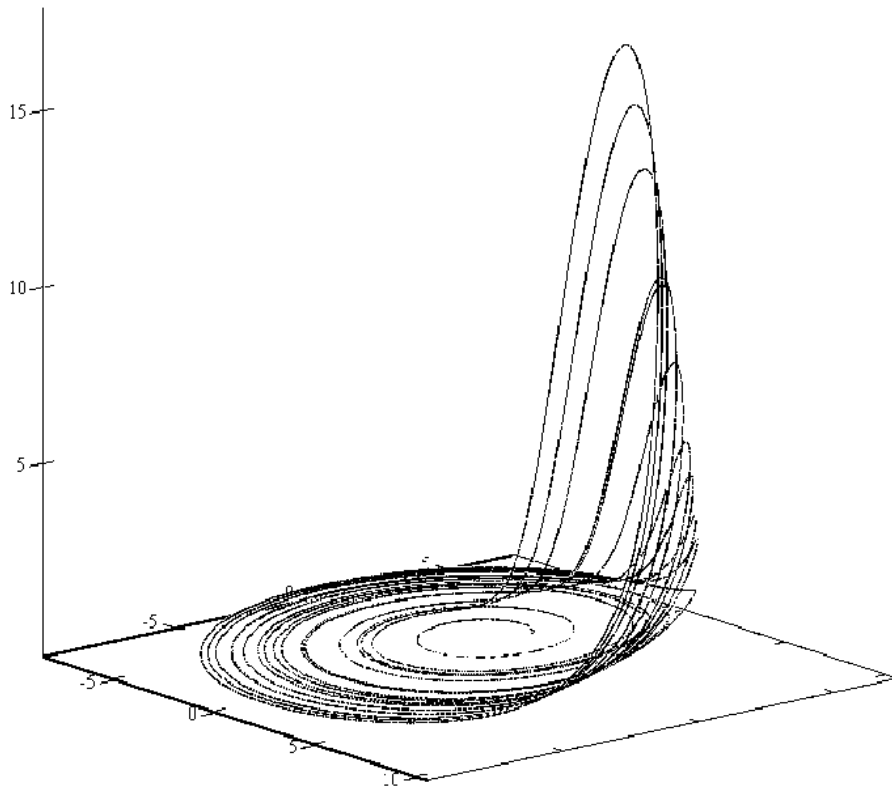
Edward Norton
Lorenz
1917-2008
Американский
математик и
метеоролог
Один из основателей
теории хаоса

$$\begin{aligned}\dot{x} &= \sigma y - \sigma x, \\ \dot{y} &= rx - y - xz, \\ \dot{z} &= xy - bz.\end{aligned}$$

$$r=28, s=10, b=8/3$$



Хаос в непрерывной системе. Аттрактор Ресслера



$$\begin{aligned}\dot{x} &= -(x + y), \\ \dot{y} &= x + \alpha y, \\ \dot{z} &= \alpha + z(x - \mu).\end{aligned}$$

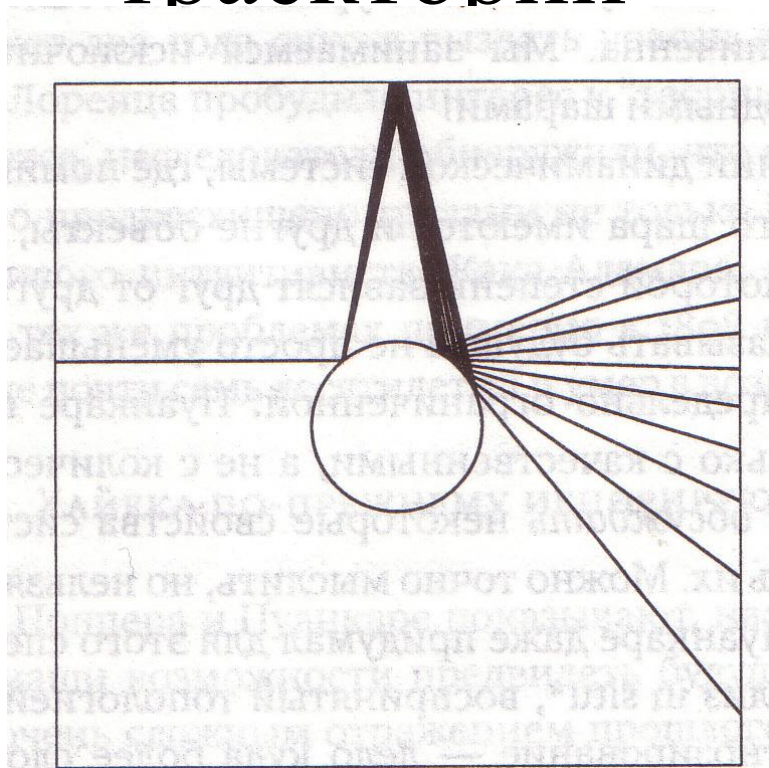
Хаотическое поведение возникает

- ● не из-за внешних источников шума (их нет в системе Лоренца);
- ● не из-за бесконечного количества степеней свободы (их три в системе Лоренца);
- ● не из-за неопределенности, связанной с квантовой механикой (рассматриваемые системы чисто классические).

Настоящая причина нерегулярности определяется свойством нелинейных систем экспоненциально быстро разводить первоначально близкие траектории в ограниченной области фазового пространства

Потребность в определенности – естественная биологическая потребность человека, но она же – порок мышления

Разбегание траекторий



Из книги «Черный лебедь»



Хаотическое поведение означает

- *неустойчивость фазовых траекторий,*
- *рост малого начального возмущения во времени,*
- *перемешивание элементов фазового объема, и, как следствие,*
- *непредсказуемость поведения системы на больших временах*

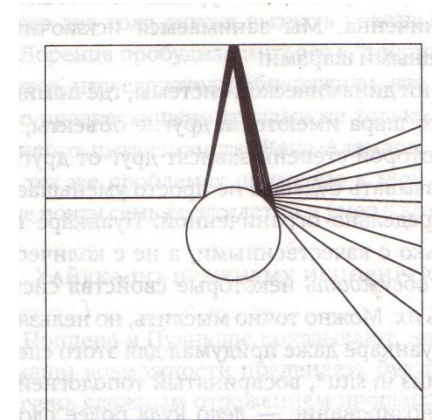
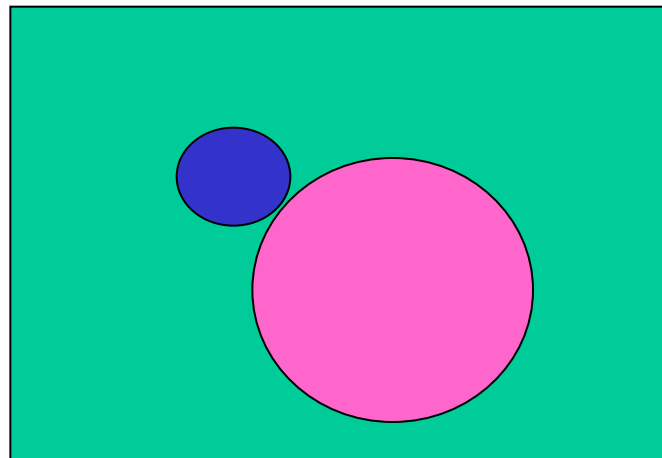
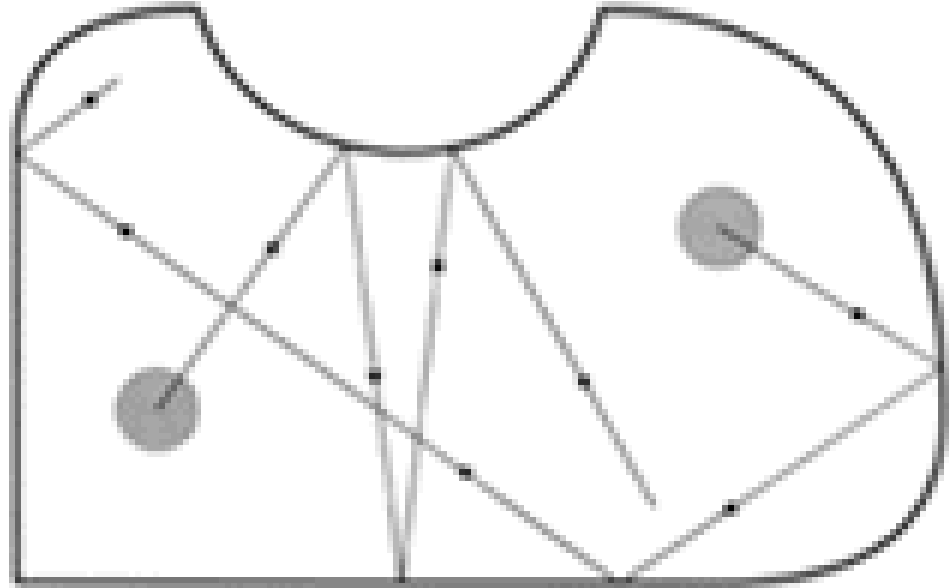
Биллиард Синая



Яков Григорьевич
Синай

Лауреат Абелевской
премии март 2014 г.

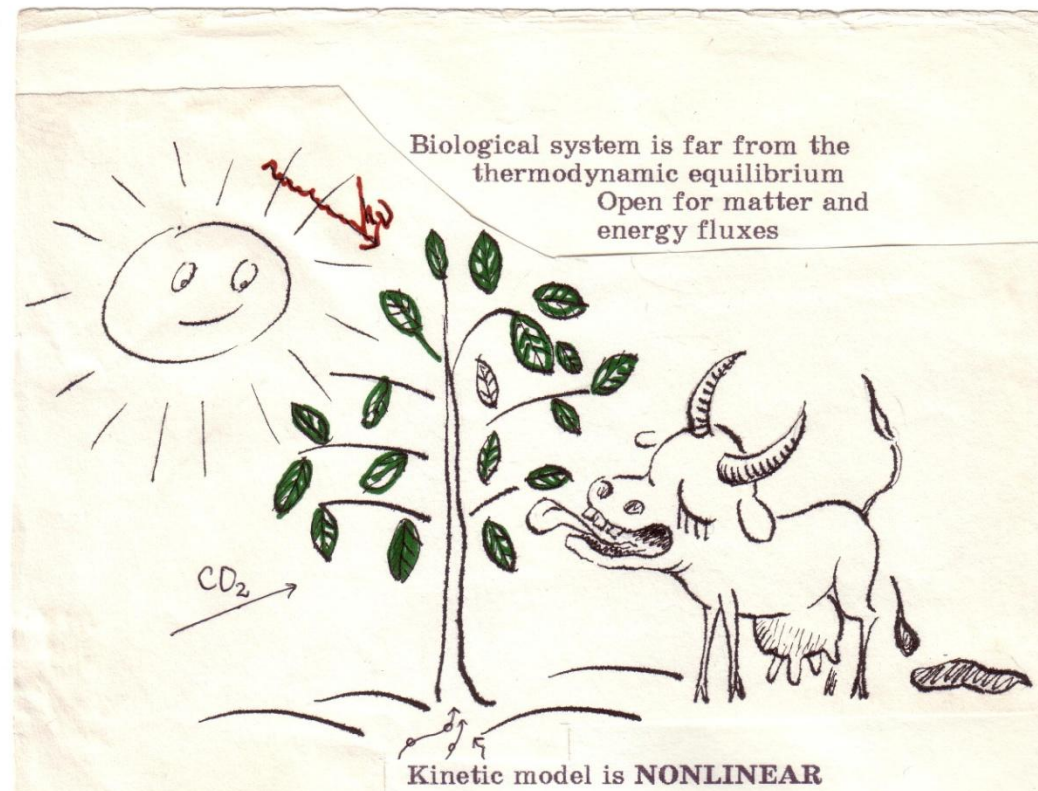
Профессор Мехмата МГУ.
Работы по теории
динамических систем,
статистической физике



НЕЛИНЕЙНОСТЬ

- является необходимым (но не достаточным) условием существования динамического (детерминированного) хаоса

Линейные дифференциальные и разностные уравнения не приводят к хаосу.



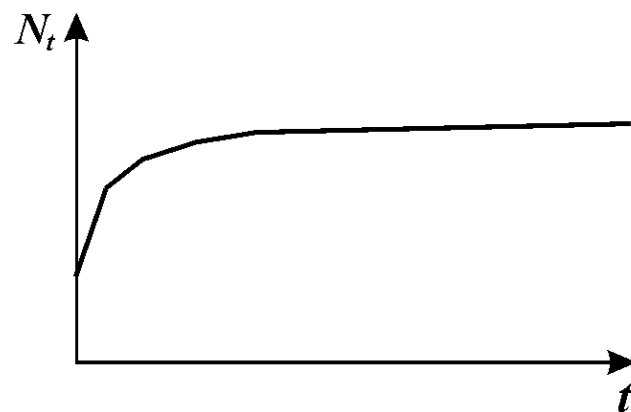
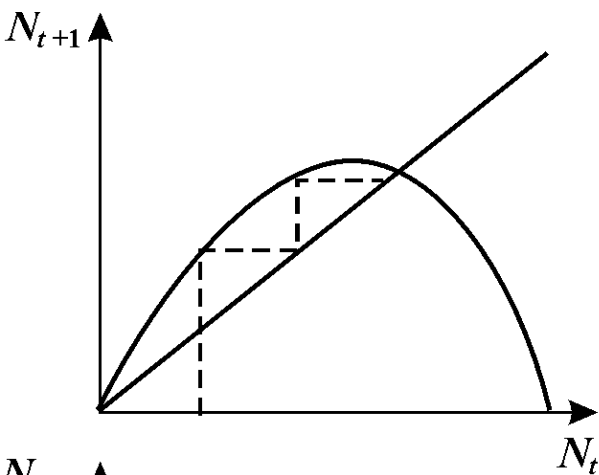
Детерминированные системы

однозначно задан закон изменения системы с течением времени.

Детерминированность означает, что зависимость будущего состояния $x(t)$ можно записать в виде:

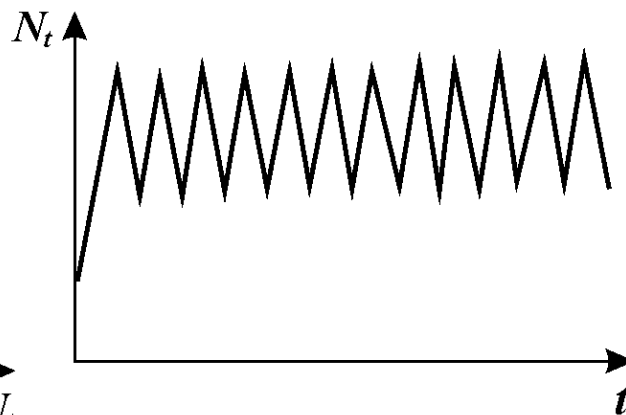
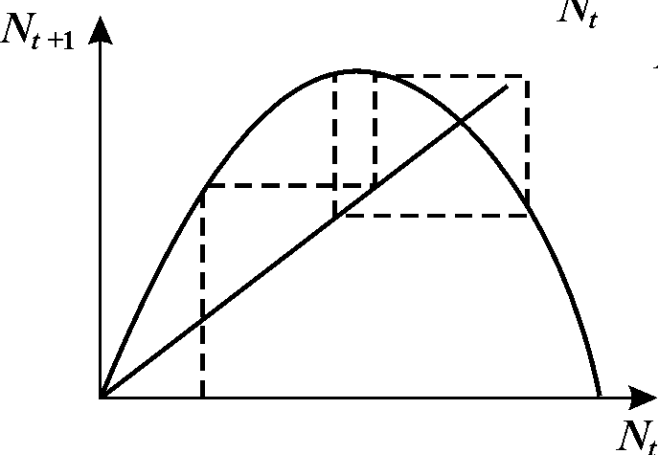
$$x(t) = F [x(t_0)] .$$

Здесь F – детерминированный закон (оператор), который осуществляет строго однозначное преобразование начального состояния $x(t_0)$ в будущее состояние $x(t)$ для любого $t > t_0$.

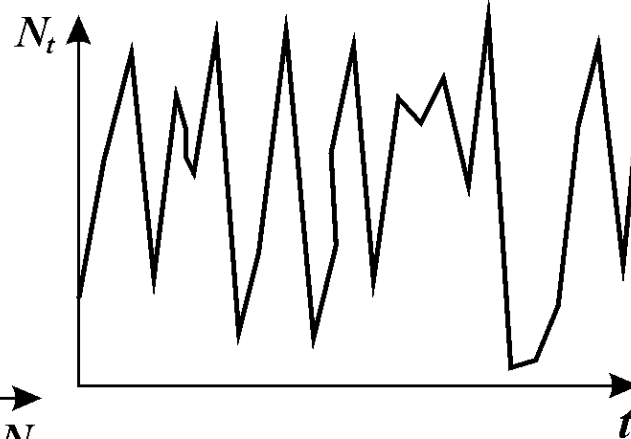
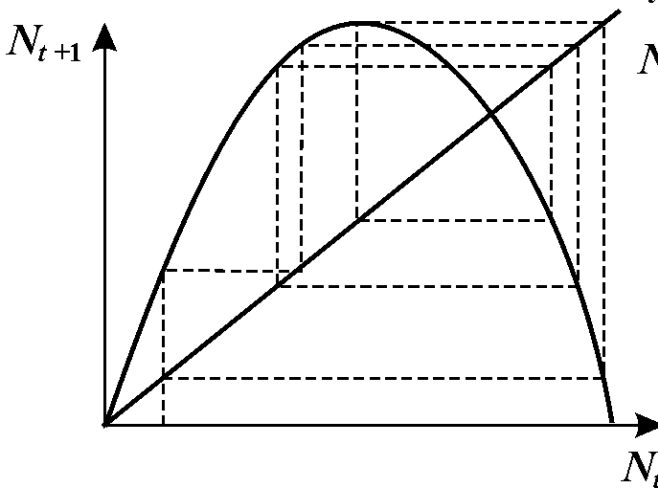


a Квадратичное отображение

$$N_{t+1} = aN_t(1 - N_t)$$



б

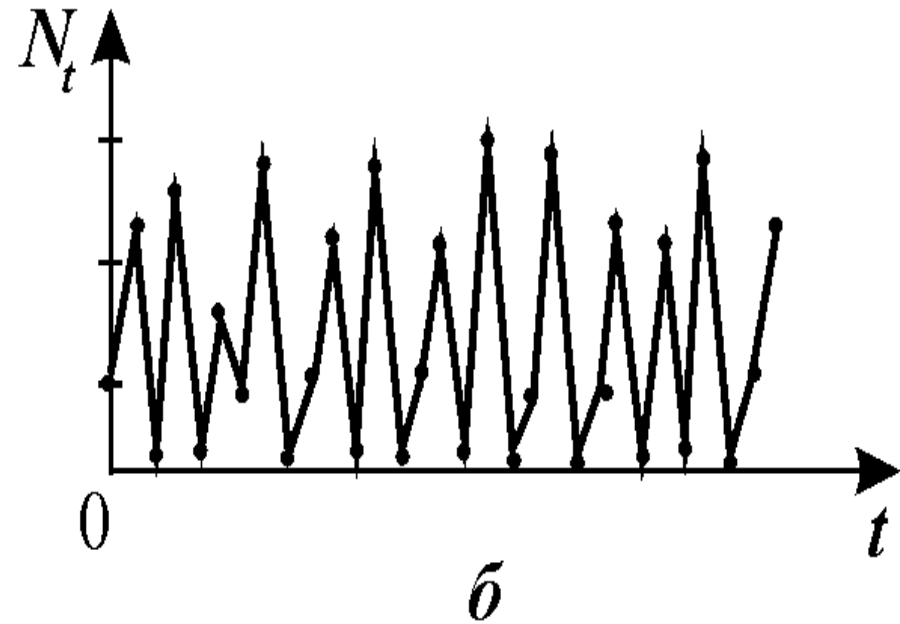
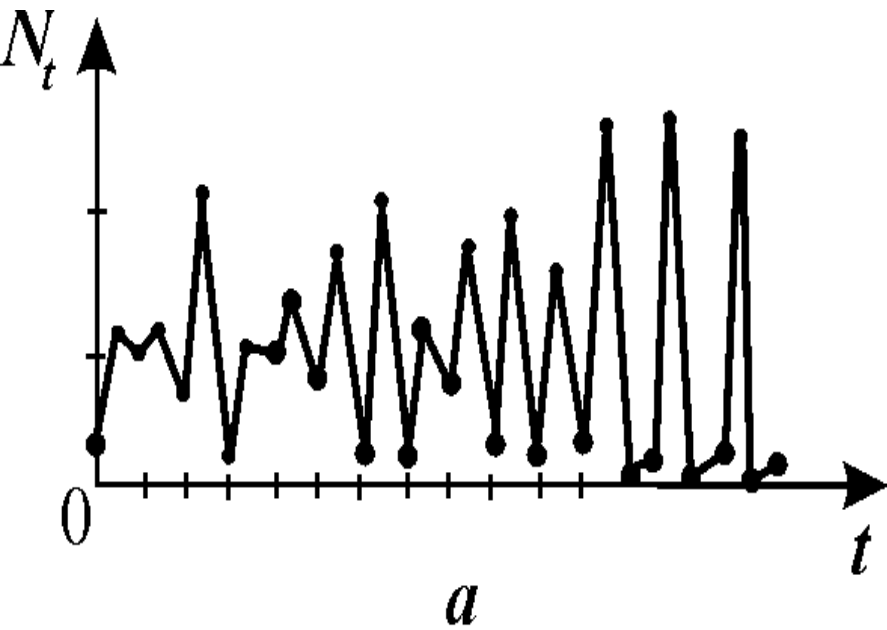


в

Пример
детерминиро-
ванного
хаоса

$$N_{t+1} = N_t \exp \left\{ r \left(1 - \frac{N_t}{K} \right) \right\}$$

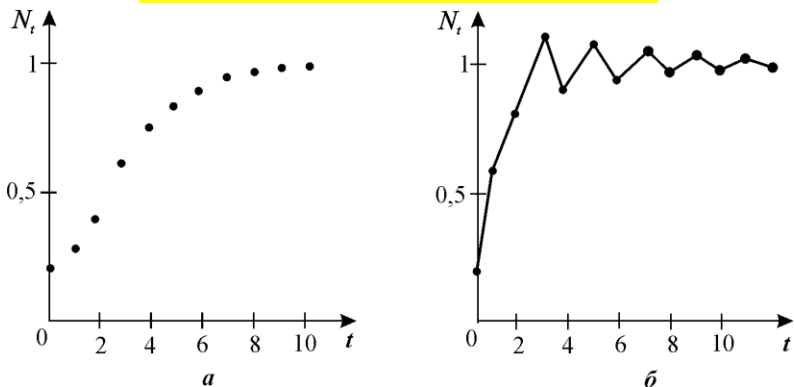
Дискретный аналог
логистического уравнения



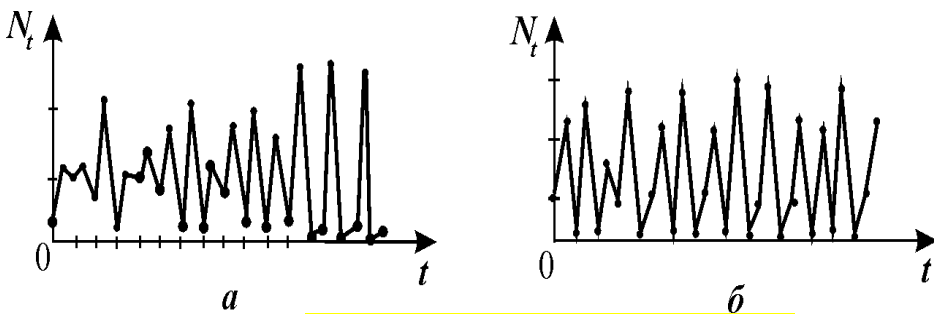
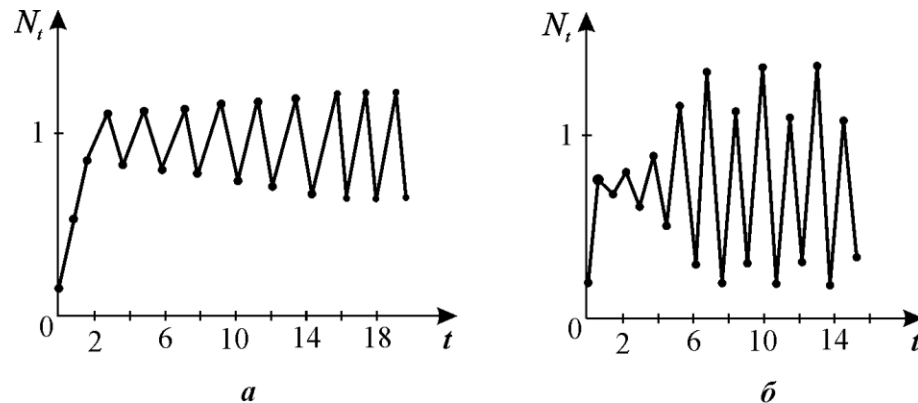
При $r > r_c = 3,102$ решение зависит от начальных условий существуют *трехточечные циклы* и *квазистохастические решения*.

Равновесие устойчиво, если $0 < r < 2$,
 решение монотонно при $0 < r < 1$ и представляет собой затухающие колебания
 при $1 < r < 2$
 при $2 < r = r_2 < 2,526$ – двухточечные циклы;
 при $r_2 < r < r_c$ появляются циклы длины $4, 8, 16, \dots, 2k$
 при $r > r_c = 3,102$ решение зависит от начальных условий. Существуют
 трехточечные циклы и квазистохастические решения

Устойчивое решение



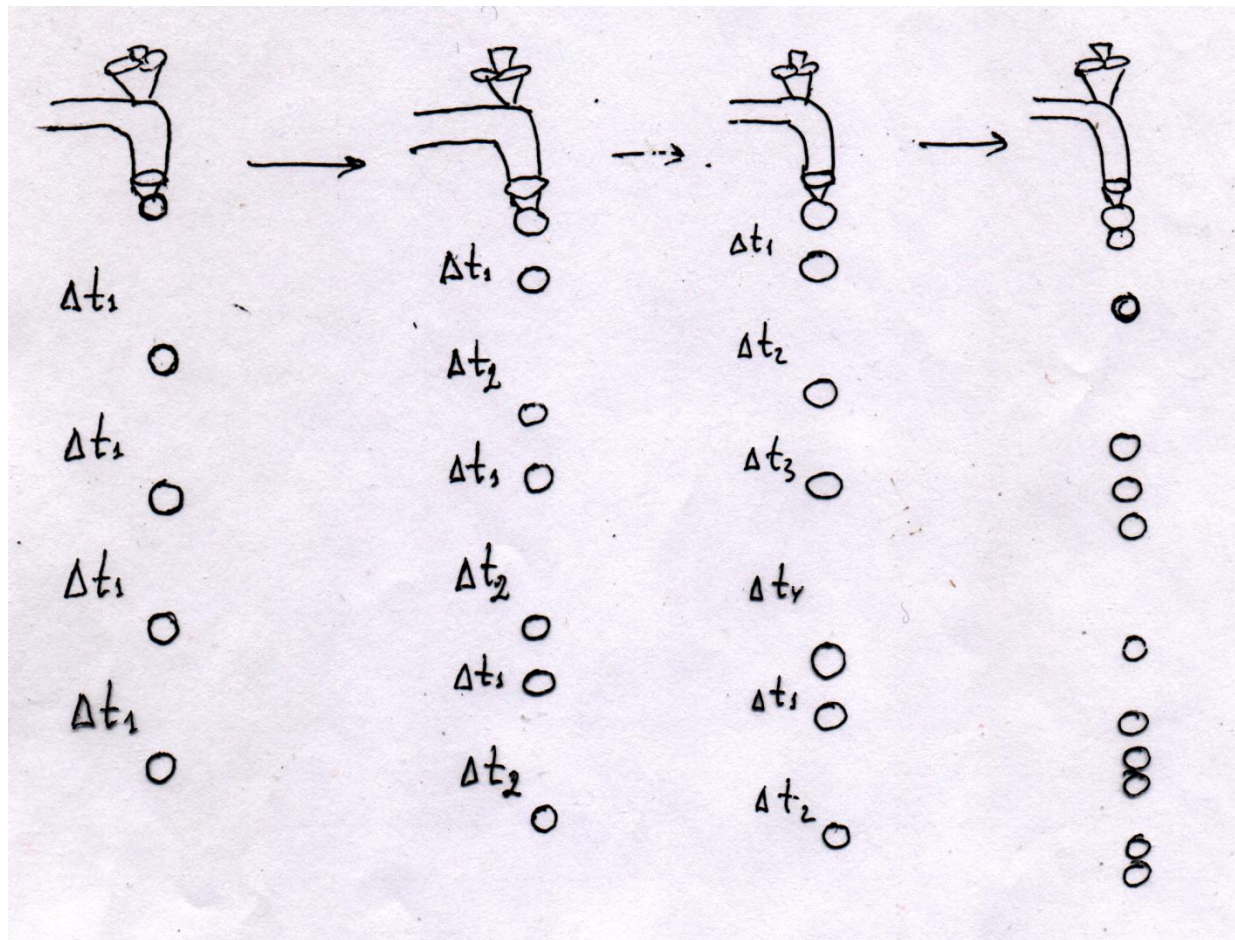
Циклы длины $2k$



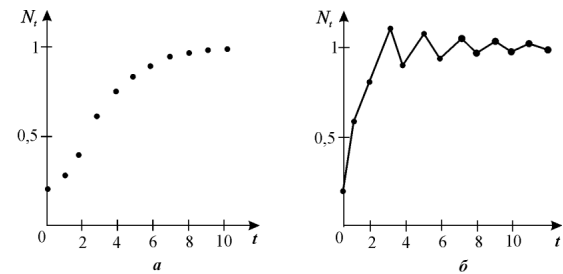
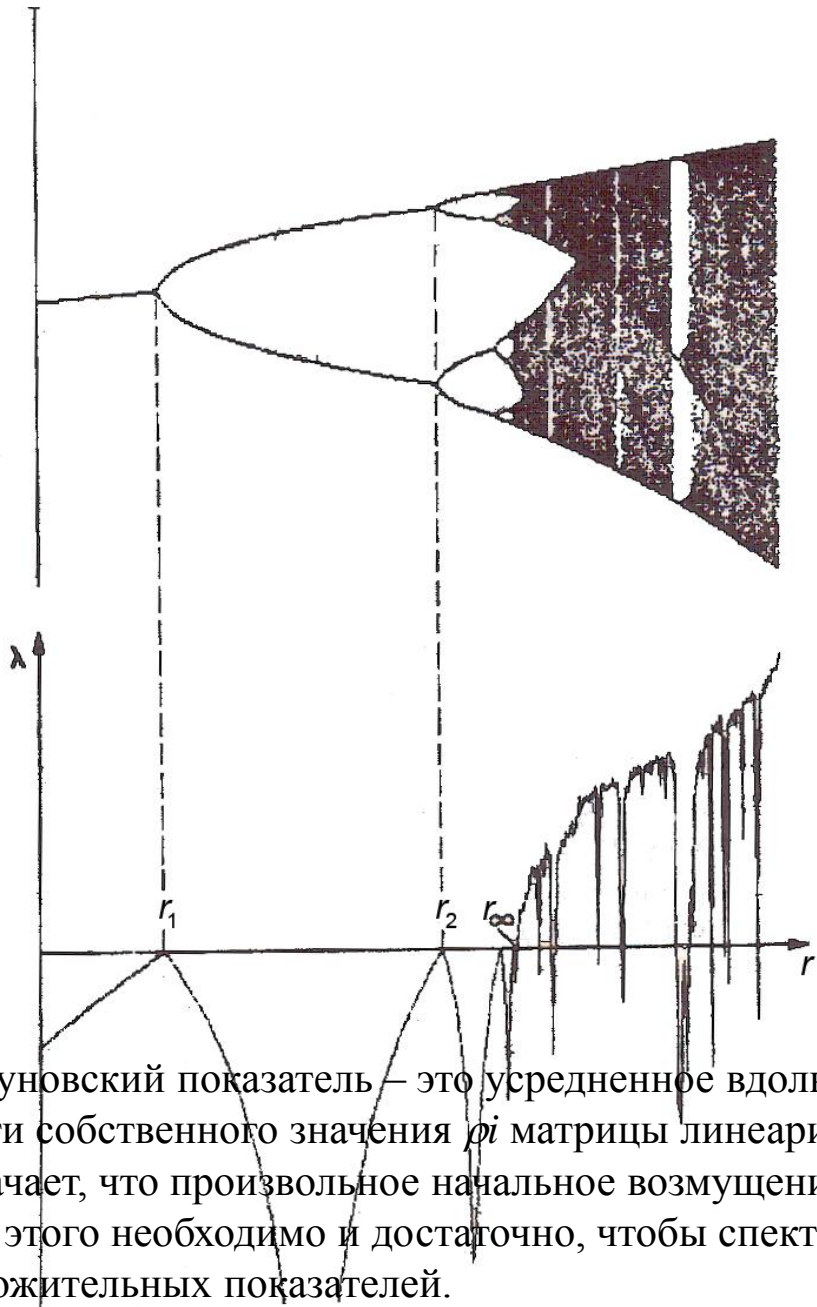
Динамический хаос

$$N_{t+1} = N_t \exp \left\{ r \left(1 - \frac{N_t}{K} \right) \right\}$$

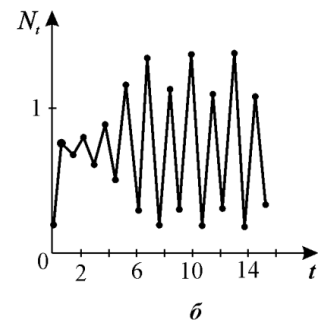
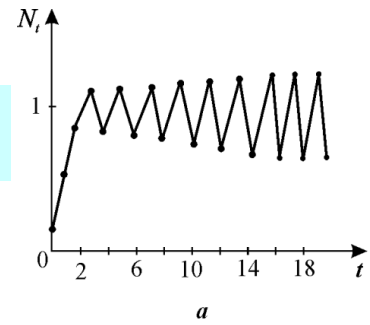
Переход к хаосу через удвоение периода



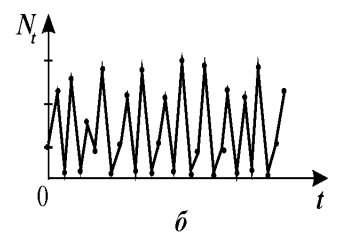
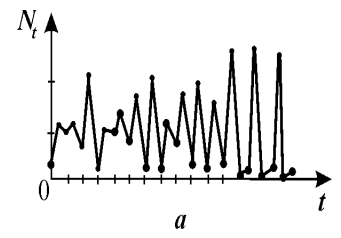
Сценарий удвоения предельного цикла



r_1



r_∞

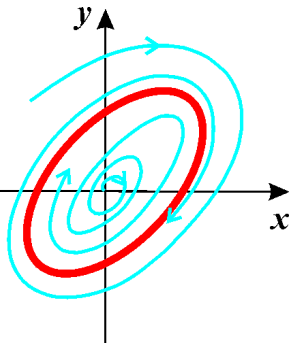


Показатель Ляпунова – характеризует устойчивость траектории

$$\lambda_i = \lim_{t \rightarrow \infty} \frac{1}{t - t_0} \ln \|y^i(t)\|.$$

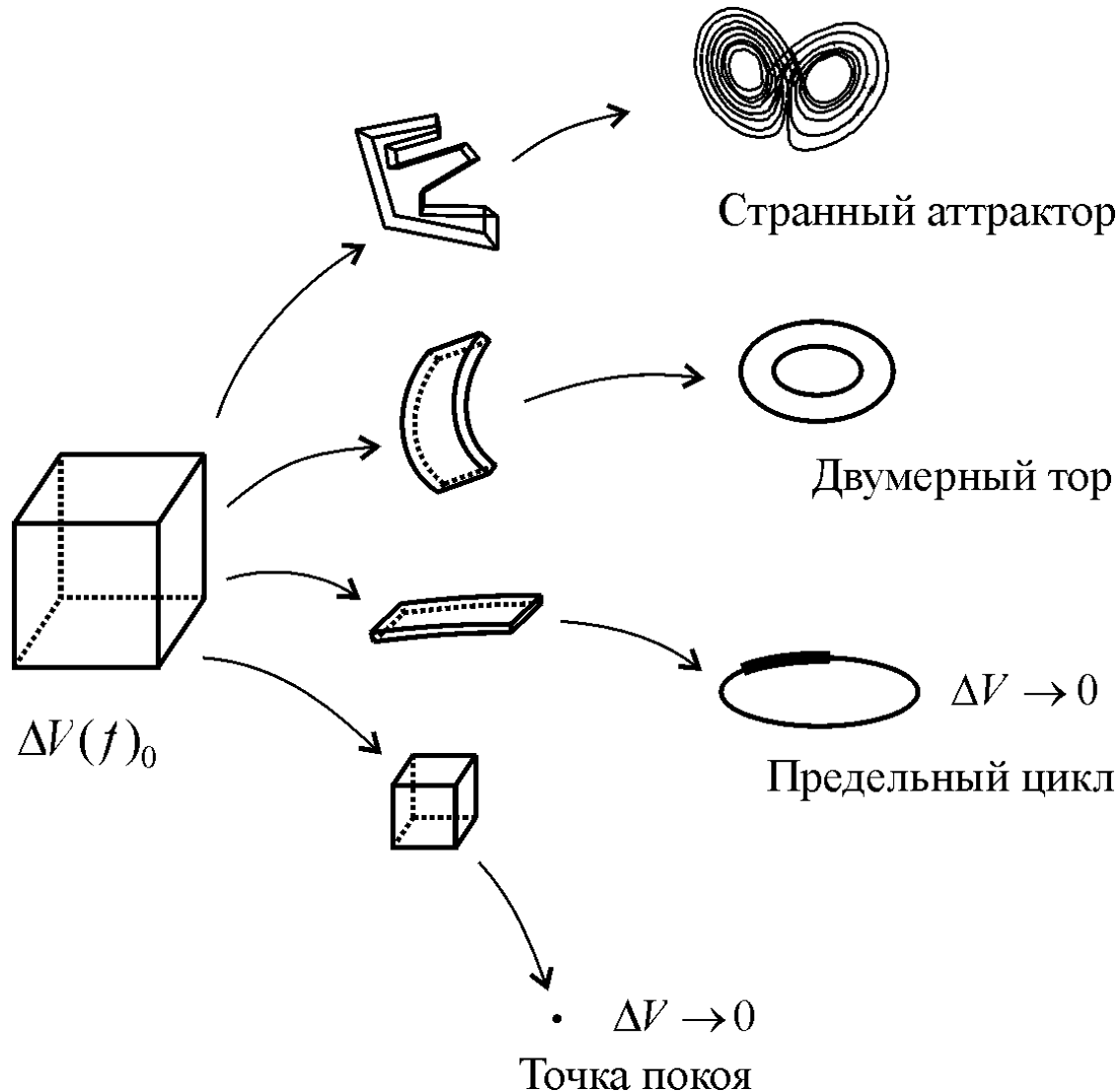
Ляпуновский показатель – это усредненное вдоль исследуемой траектории значение действительной части собственного значения ρ_i матрицы линеаризации. Устойчивость траектории по Ляпунову означает, что произвольное начальное возмущение $y(t^*)$ в среднем вдоль траектории не возрастает. Для этого необходимо и достаточно, чтобы спектр ляпуновских показателей λ_i не содержал положительных показателей.

Устойчивость по Пуассону



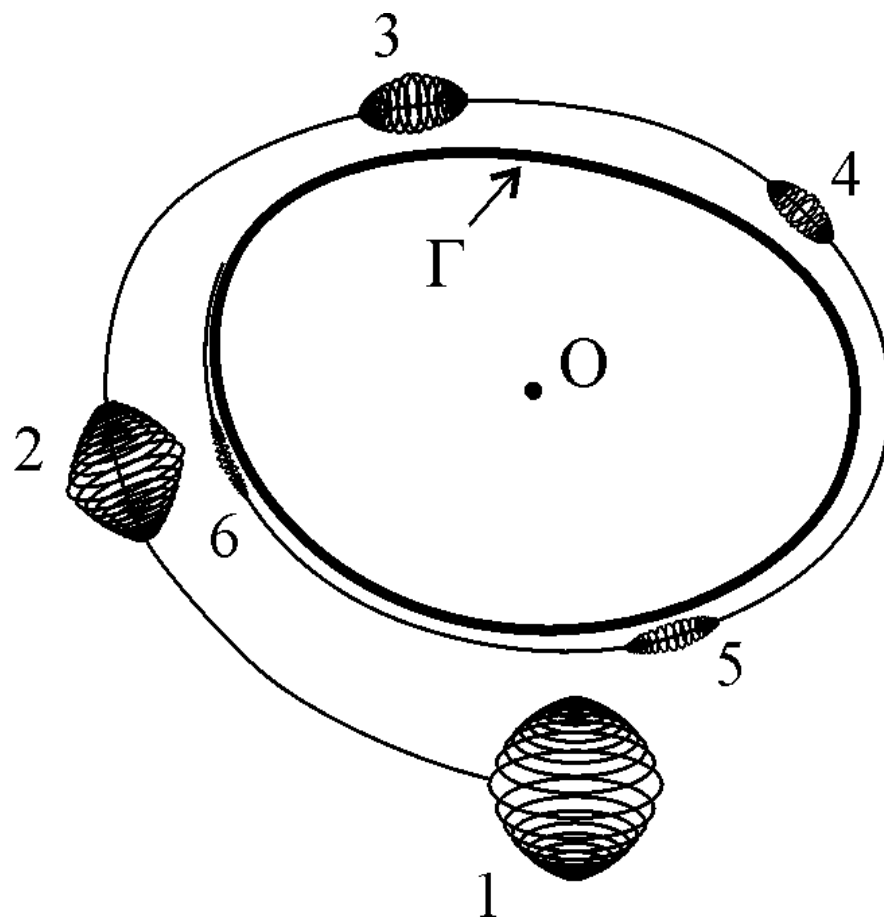
предполагает, что соответствующая фазовая траектория при $t \rightarrow \infty$ не покидает ограниченной области фазового пространства. Находясь в этой области бесконечно долго, она неизбежно будет возвращаться в сколь угодно малую окрестность начальной точки. Времена возврата могут соответствовать *периоду* или *квазипериоду* при регулярном движении, а могут представлять собой случайную последовательность, если решение отвечает режиму динамического хаоса.

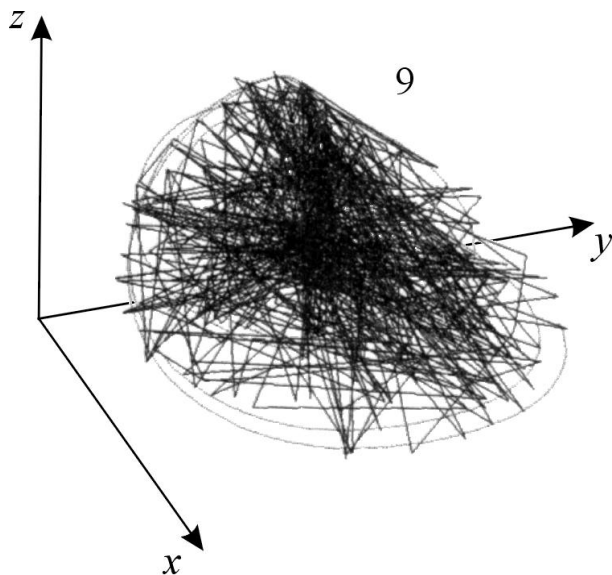
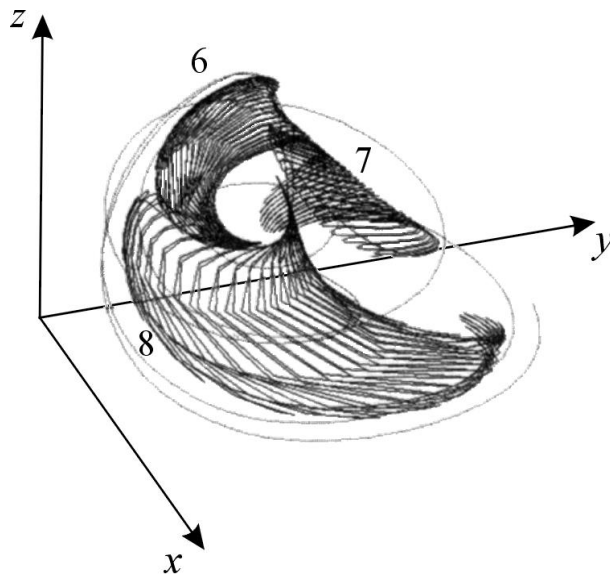
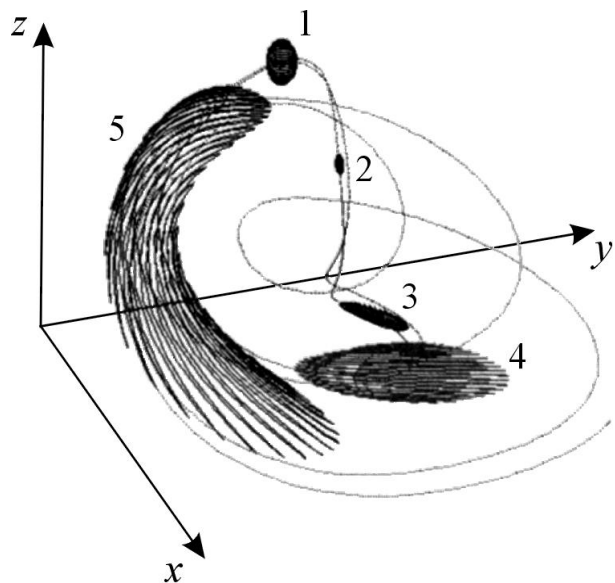
Диссипативные системы



Существование аттрактора в диссипативной системе связано со свойством сжатия элемента фазового объема под действием оператора эволюции.

Сжатие элемента фазового пространства радиуса ε при «наматывании» траектории на устойчивый предельный цикл -траектория Γ .





Эволюция малого
первоначального
фазового объема во
времени в
динамической
системе
(Анищенко и др.,
1999).

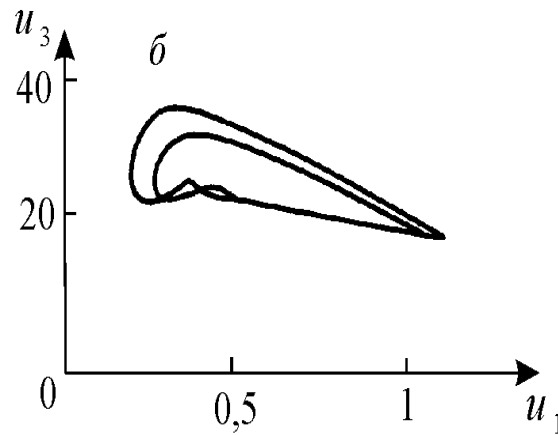
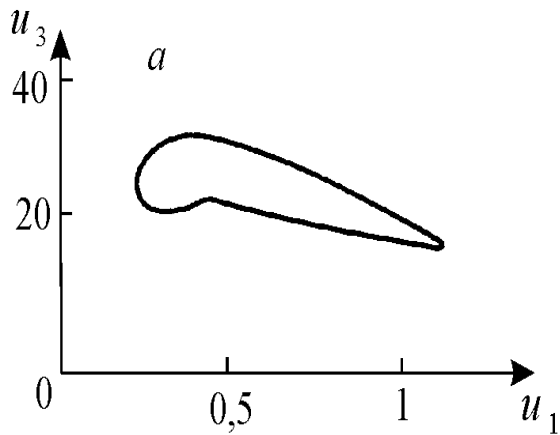
$$\dot{x} = mx + y - xz,$$

$$\dot{y} = -x,$$

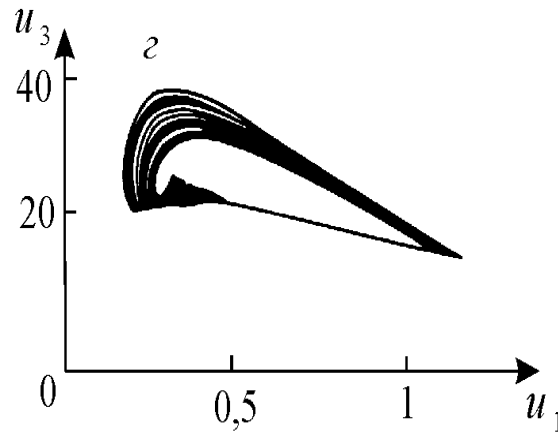
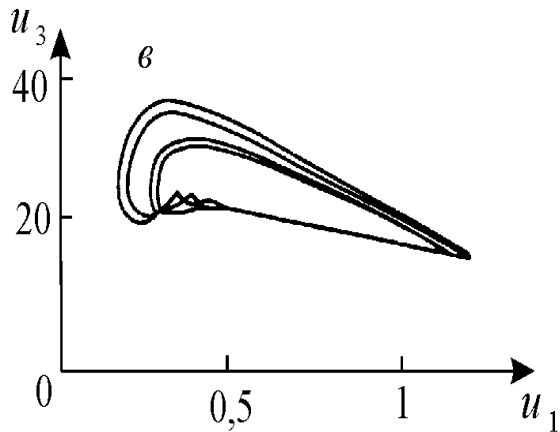
$$\dot{z} = -gz + gI(x)x^2, \quad I = \begin{cases} 1, & x > 0, \\ 0, & x \leq 0. \end{cases}$$

Хаотическое поведение демонстрируют

- Системы трех и более автономных нелинейных дифференциальных уравнений
- Системы двух **неавтономных** дифференциальных уравнений (периодическое воздействие на колебательную систему)
- Дискретные системы
- Системы с запаздыванием
- Распределенные в пространстве системы



Странный
аттрактор в
системе хищник
– две жертвы



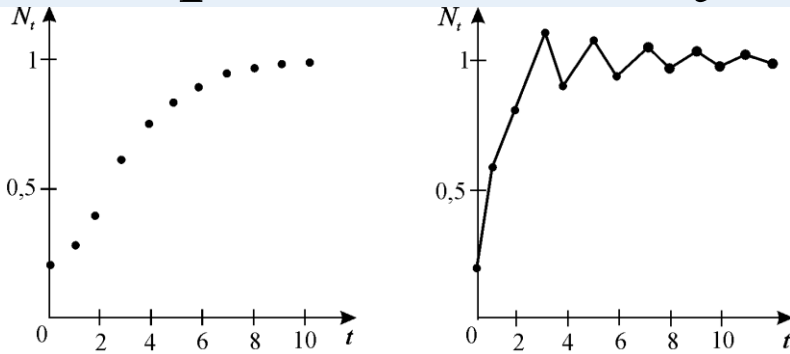
$$\frac{du_1}{dt} = u_1(\alpha_1 - u_1 - 6u_2 - 4u_3),$$

$$\frac{du_2}{dt} = u_2(\alpha_2 - u_2 - u_1 - 10u_3),$$

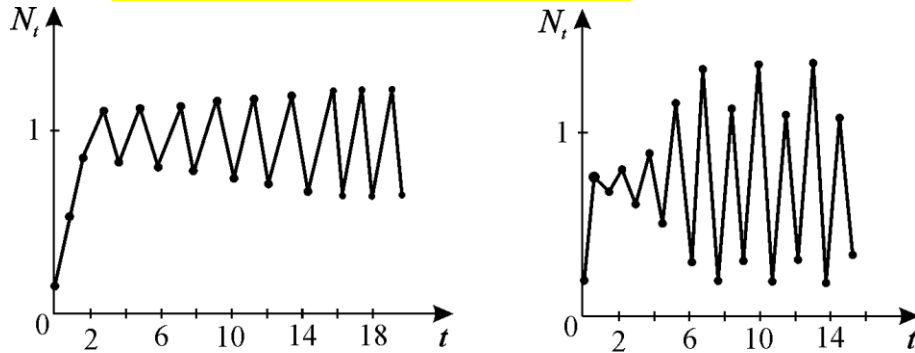
$$\frac{du_3}{dt} = u_3(-1 + 0.25u_1 + 4u_2 - u_3).$$

Система, описывающая взаимодействие трех видов: хищник - две жертвы (А.Д. Базыкин, Е.Апони́на, Ю.Апони́н, 1985). При уменьшении параметра скорости роста первой жертвы происходит усложнение траектории (последовательное удвоение предельного цикла) $a - г$. Колебательная динамика переходит в квазистохастическую

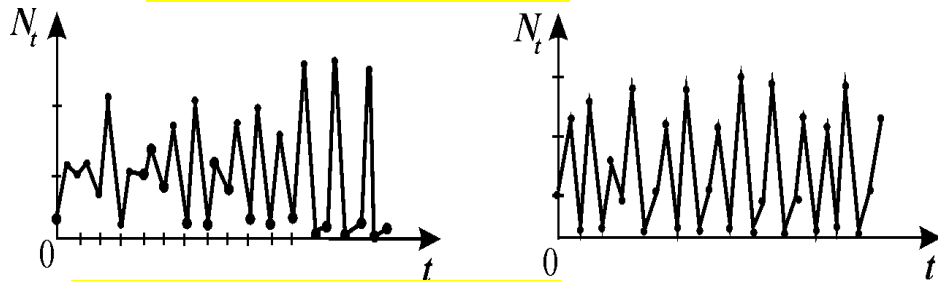
Переход к хаосу через удвоение периода



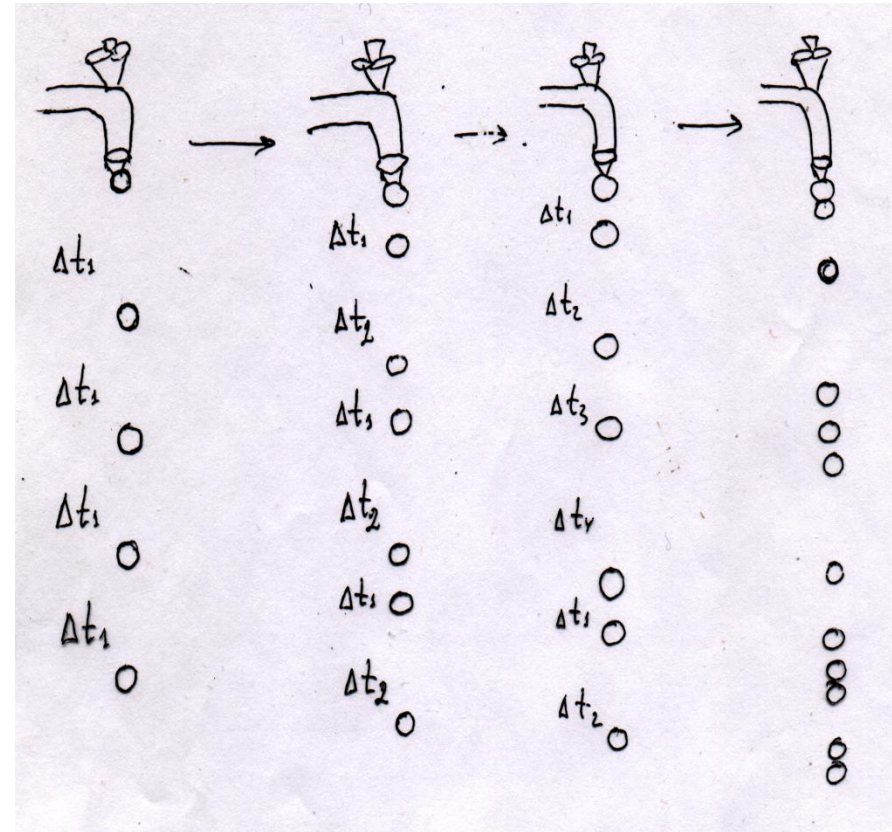
Устойчивое решение



Циклы длины $2k$



Динамический хаос



$$N_{t+1} = N_t \exp \left\{ r \left(1 - \frac{N_t}{K} \right) \right\}$$

Модели замкнутых экосистем



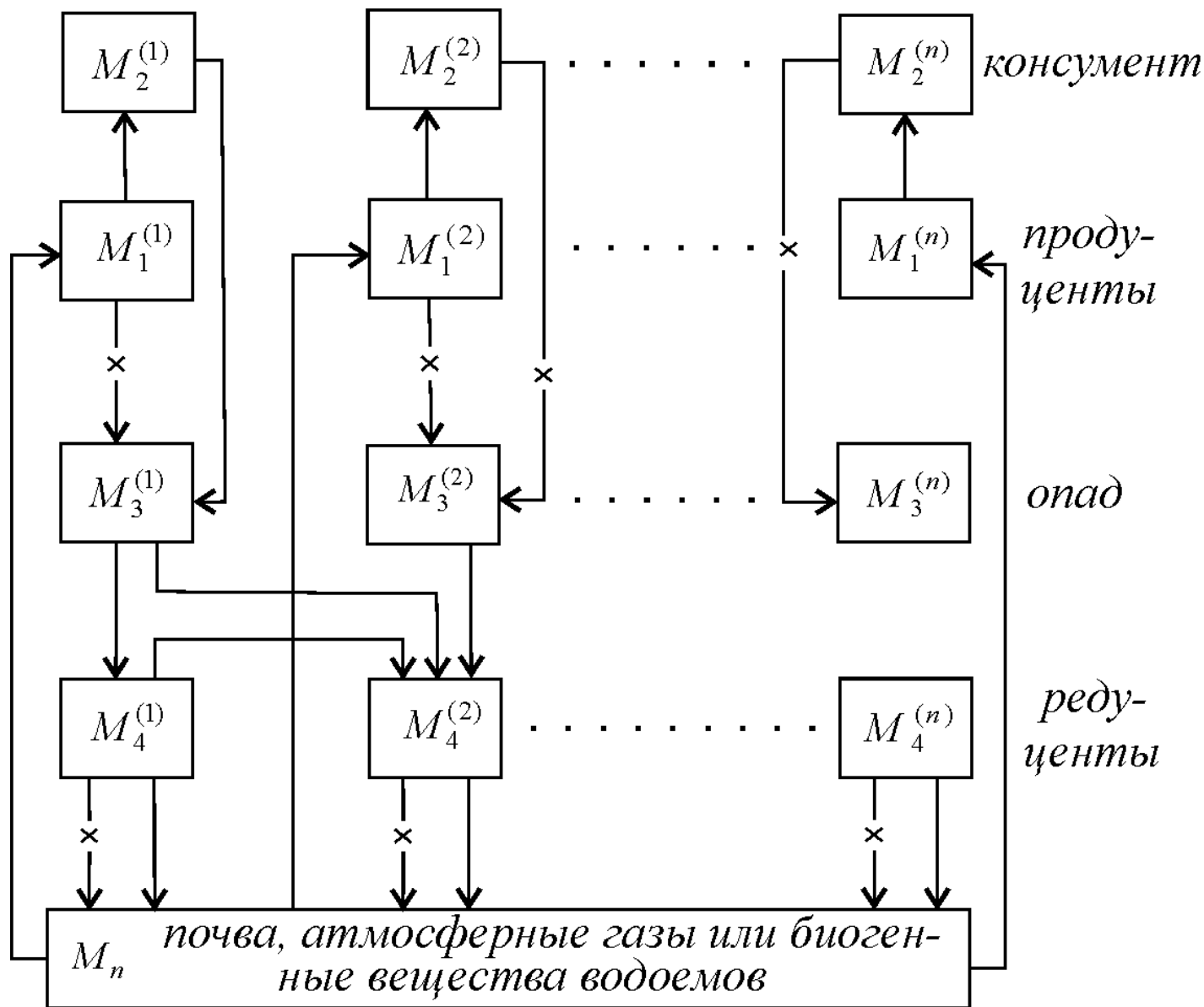
В.В.Алексеев, Крышев И.И.,
Сазыкина Т.Г.

Физическое и математическое
моделирование экосистем

**Вячеслав Викторович
Алексеев (1940-2007)**

Физик, эколог, геофизик.
Динамика процессов в
замкнутых экосистемах.
Возобновляемые
источники энергии

Схема потоков
вещества по
трофическим
пирамидам в
замкнутой
экосистеме



$$\sum_{i,k} M_i^k + M_{II} = M$$

Система уравнений для трех трофических уровней

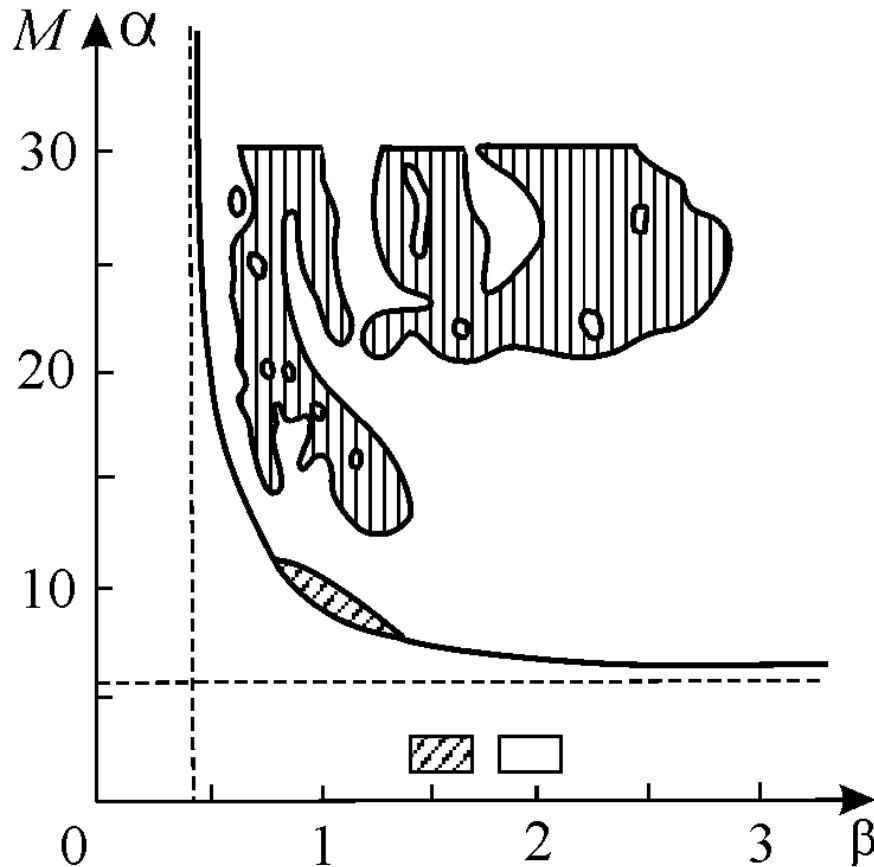
$$dM_1^{(i)} / dt = -\varepsilon_1^{(i)} M_1^{(i)} + \gamma_1^{(i)} M_1^{(i)} M_2, \quad \text{растения}$$

$$dM_2^{(i)} / dt = \varepsilon_1^{(i)} M_1^{(i)} M_2^i - \sum_{k=1}^n \gamma_2^{(ik)} M_2^{(i)} M_3^{(k)}, \quad \text{травоядные}$$

$$dM_3^{(i)} / dt = -\varepsilon_3^{(i)} M_3^i + \sum_{k=1}^n \gamma_3^{(ik)} M_2^{(i)} M_3^{(i)}, \quad \text{хищники}$$

$$dM_{\Pi} / dt = \sum_{i=1}^n \left[\varepsilon_3^{(i)} M^{(i)} + \sum_{k=1}^n \left(\gamma_2^{(ik)} - \gamma_3^{ik} \right) M_2^{(i)} M_3^{(k)} - \gamma_1^i M_1^{(i)} M_{\Pi} \right].$$

Области стохастичности (штриховка) для системы два хищника – две жертвы



**Александр Юрьевич
Лоскутов (1960 – 2011)**
Профессор физического
факультета МГУ

В.В.Алексеев, А.Ю.Лоскутов. О возможности управления системы со странным аттрактором. Проблемы экологического мониторинга, 1985

Glycolysis with periodic substrate input flux

$$\frac{d[\text{F6P}]}{dt} = \frac{d[\text{PEP}]}{dt} + \frac{d[\text{ATP}]}{dt}$$

$$= \bar{V}_{in} + A \sin \omega_e t - V_{\text{PFK}}$$

$$\frac{d[\text{ADP}]}{dt} = - \frac{d[\text{ATP}]}{dt} = V_{\text{PFK}} - V_{\text{PK}}$$

F6P – fructose 6 phosphate

PEP – phosphoenolpyruvate

\bar{V}_{in} - the mean input flux

ω_e - frequency of the periodic input flux

$$A = \bar{V}_{in}$$

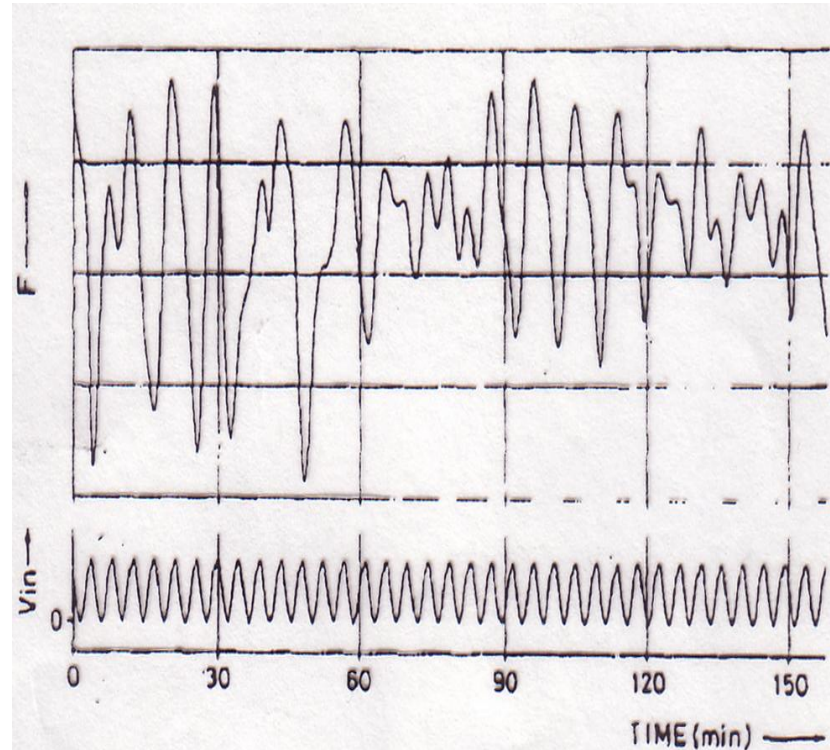


Fig. 2. Measured NADH fluorescence (upper curve) of yeast extract under sinusoidal glucose input flux (lower curve).

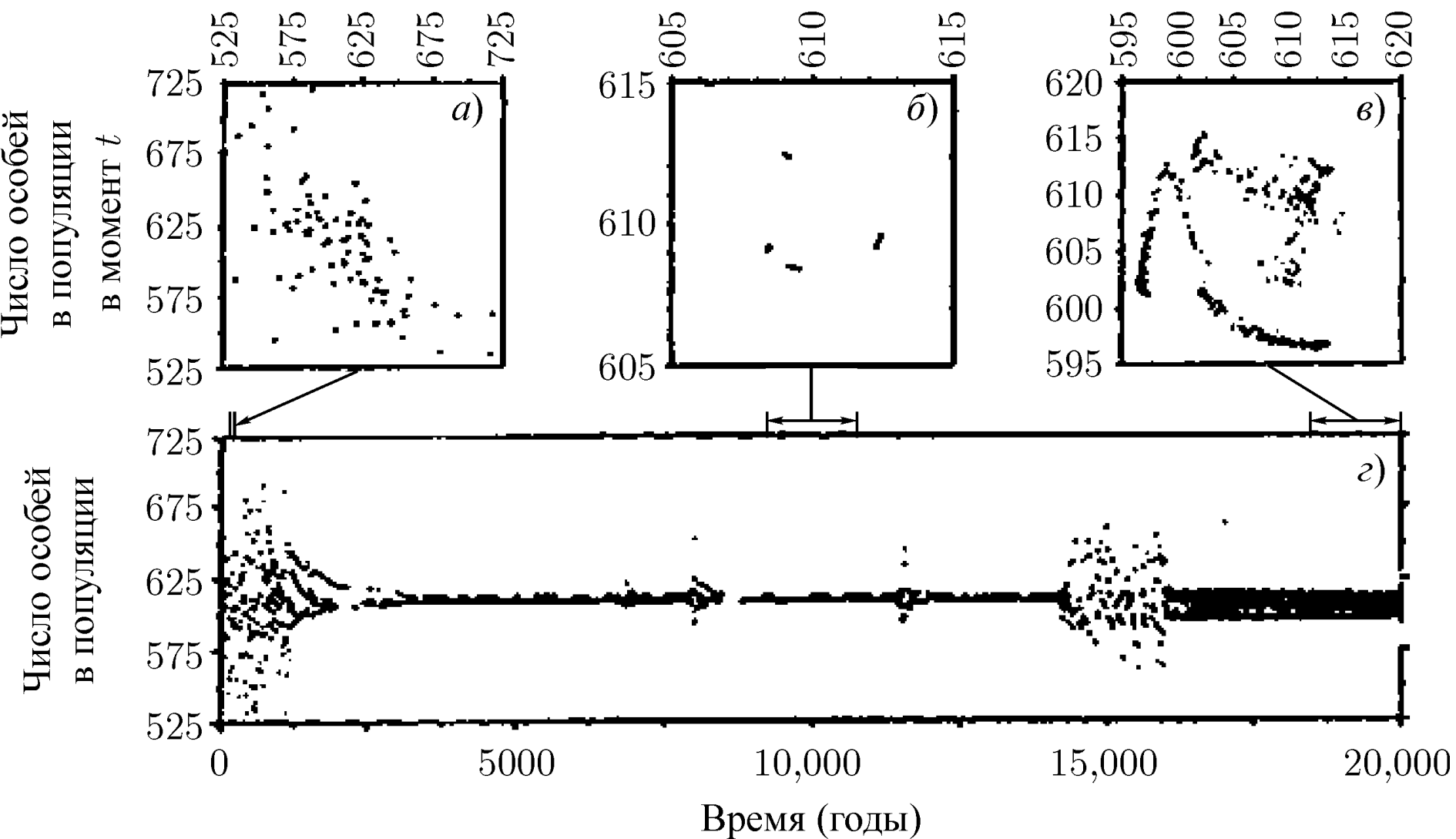
Модели
популяционной
динамики

В
пространстве
и времени



A.Hastings, K.Higgins. Persistence of transients in spatially structured ecological models Science, 1994, 263, 1133-1136.

Число особей в популяции в момент $t-1$





Мáлхов Хорст
(Malchow Horst) –
немецкий ученый,
профессор,
университета
Оснабрюкке. Декан
факультета сложных
систем

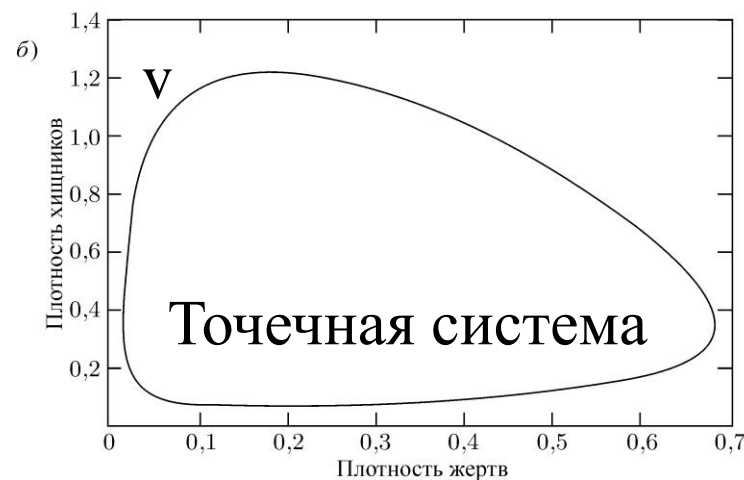
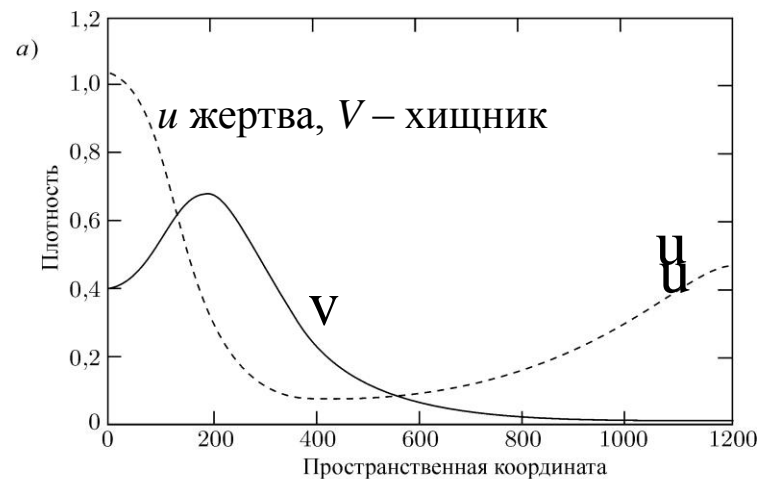
Колебания и пространственный хаос

Подвижности видов
(коэффициенты
диффузии) одинаковы
(не Тьюринг)

$$\frac{\partial u}{\partial t} = \frac{\partial^2 u}{\partial x^2} + u(1-u) - \frac{u}{u+H} v,$$

$$\frac{\partial v}{\partial t} = \frac{\partial^2 v}{\partial x^2} + k \frac{u}{u+H} v - mv,$$

Зададим малые возмущения



и

Малые возмущения динамической системы в пространстве дают динамический хаос

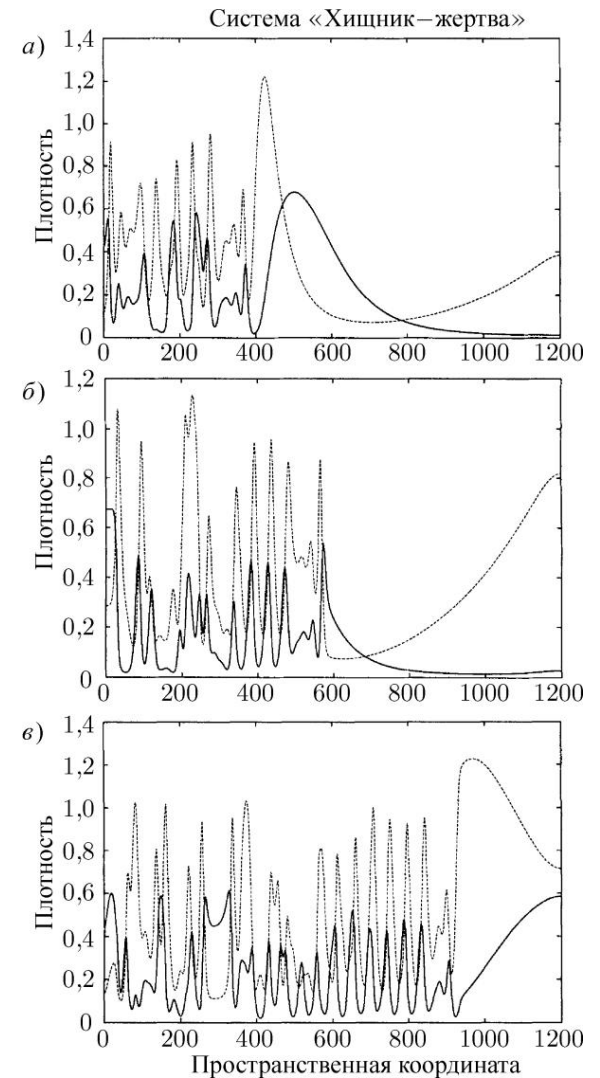
$$u(x, t) = u_3,$$

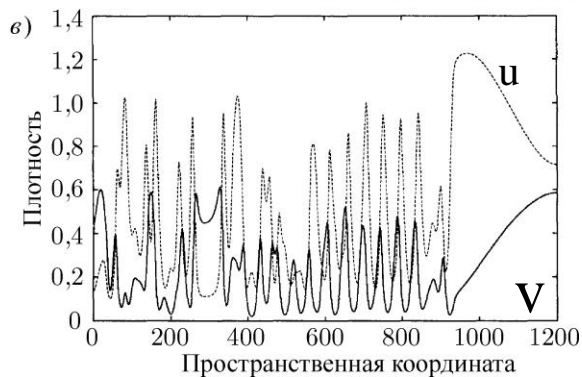
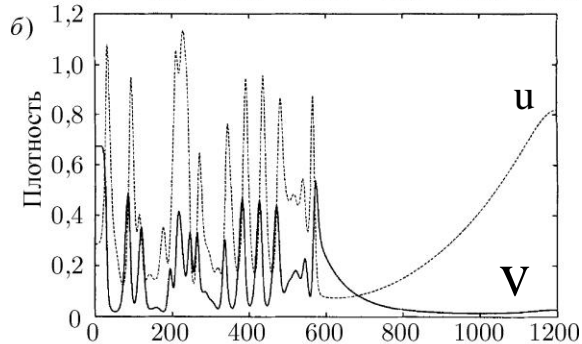
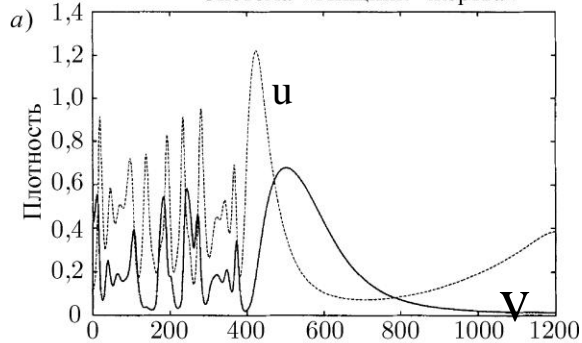
$$v(x, 0) = v_3 + [\varepsilon(x - x_0) + \delta].$$

$$\delta = 0,01, \varepsilon = 0,0004, x_0 = 0$$

$$a - t = 500, \quad б - t = 1000, \quad в - t = 2000$$

Petrovskii S.V. and Malchow H. A minimal model of pattern formation in prey-predator system. *Math. Comput. Modelling* **29**: 49-63, 1999

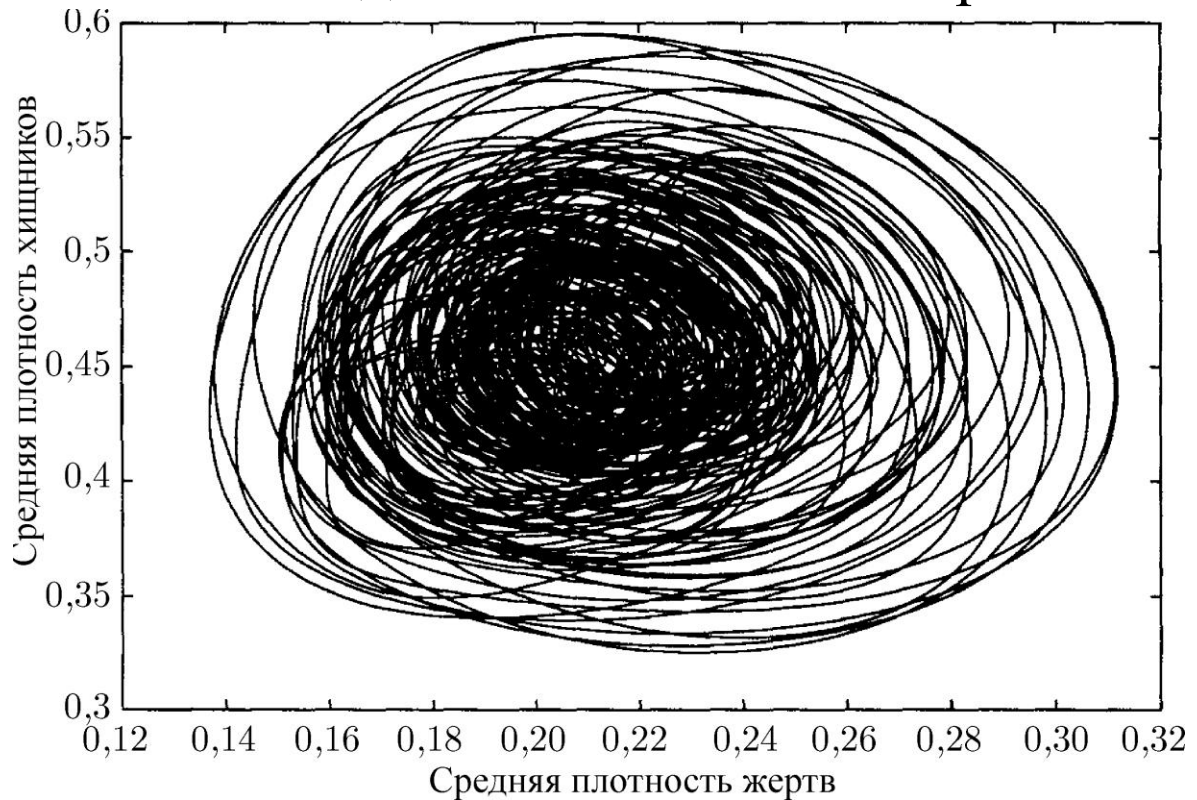




$a - t = 500$, $б - t = 1000$,
 $в - t = 2000$

Пространственный хаос

Фазовый портрет в точке $x=480$
 после того, как хаотическое
 поведение охватило весь ареал

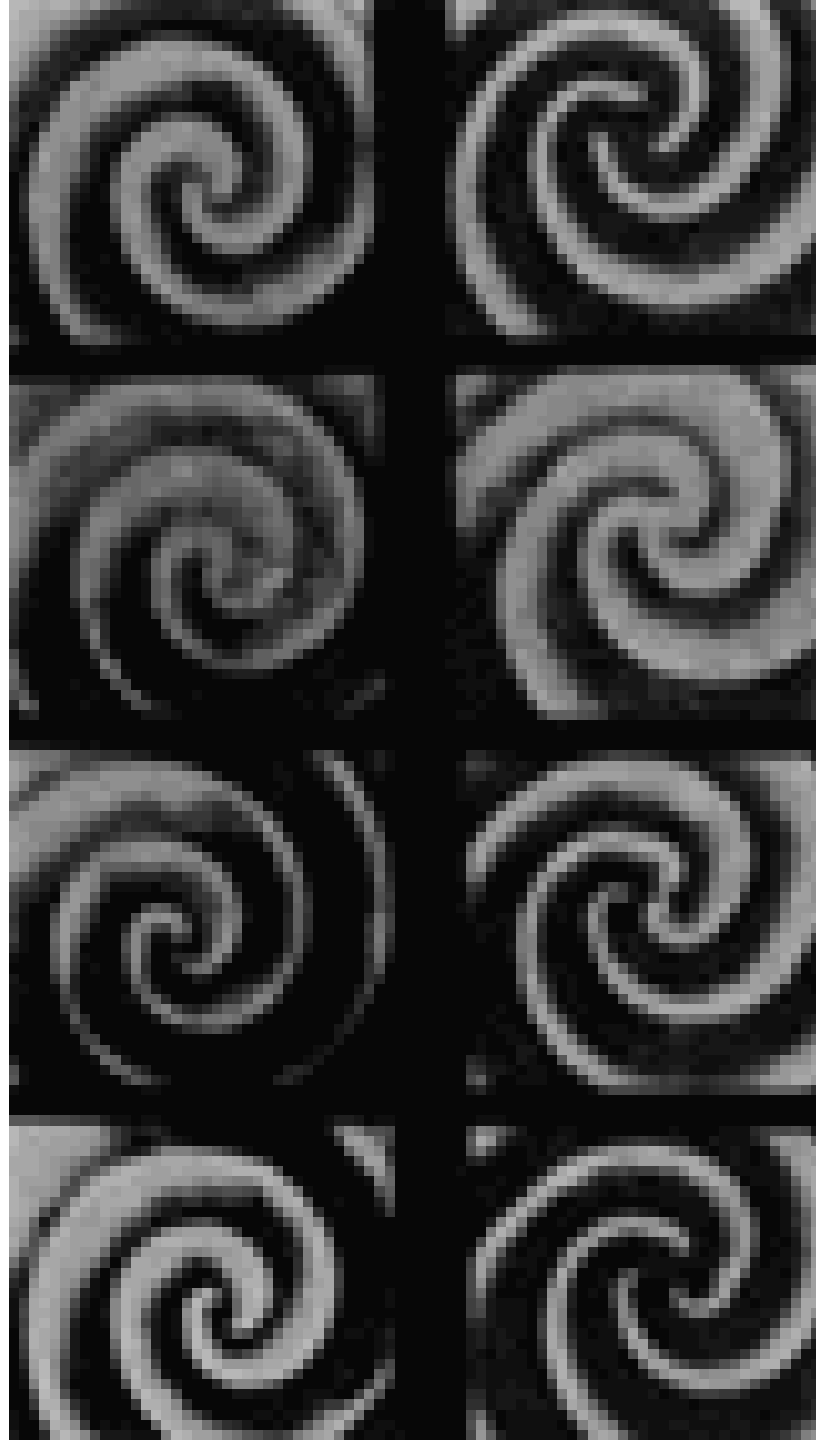


В распределенной системе процессы переноса приводят к хаотизации поведения всей системы

Подавление хаоса и управление хаосом

А.Ю.Лоскутов,
А.С.Михайлов.
Основы теории
сложных систем

ИКИ-РХД, 2007



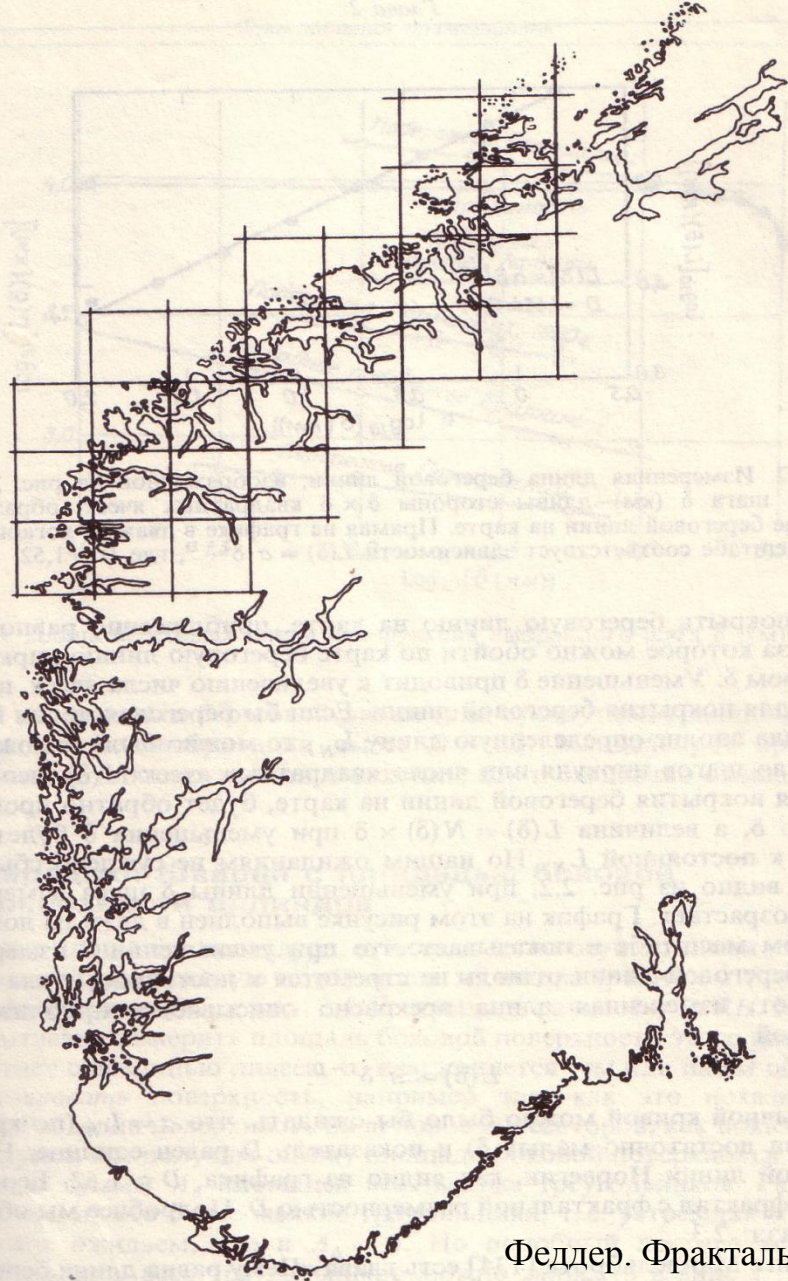
Фракталы – самоподобные множества



*Benoît
Mandelbrot*
1924-2009

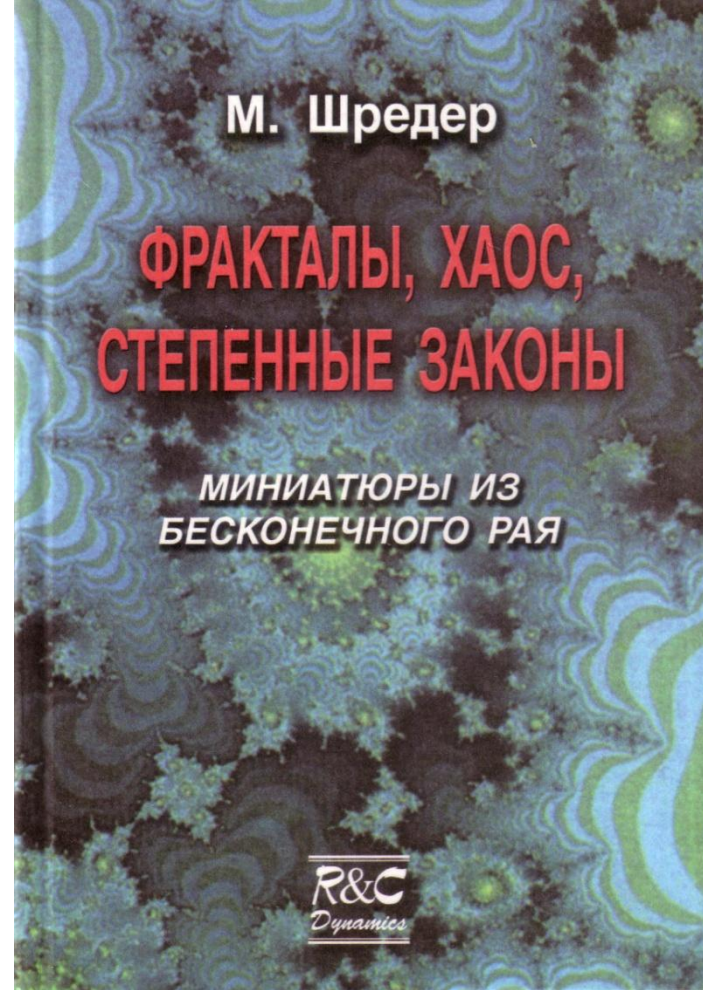
Бенуа Мальдельброт. 1924-2010. Французский и американский математик. Придумал понятие «фрактал» - “Fractus” (лат) – сломанный, разбитый.





Феддер. Фракталы

РИС. 2.1. Побережье южной части Норвегии. Береговая линия перечерчена из географического атласа и представлена в цифровом виде с помощью раstra, состоящего примерно из 1800 × 1200 ячеек. Изображенная сверху квадратная решетка имеет шаг $\delta \sim 50$ км.



М. Шредер

ФРАКТАЛЫ, ХАОС, СТЕПЕННЫЕ ЗАКОНЫ

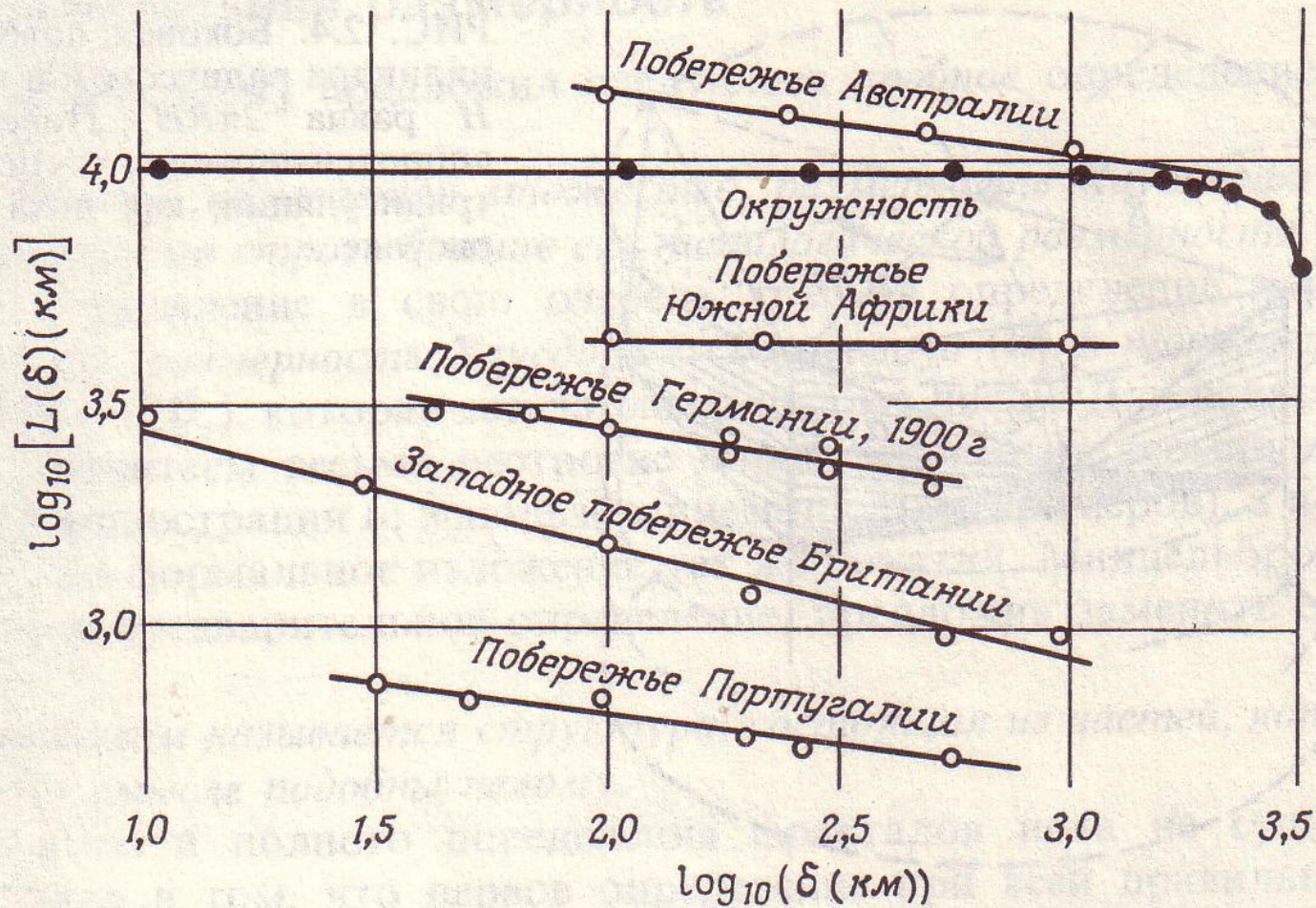
МИНИАТЮРЫ ИЗ
БЕСКОНЕЧНОГО РАЯ

R&C
Dynamics

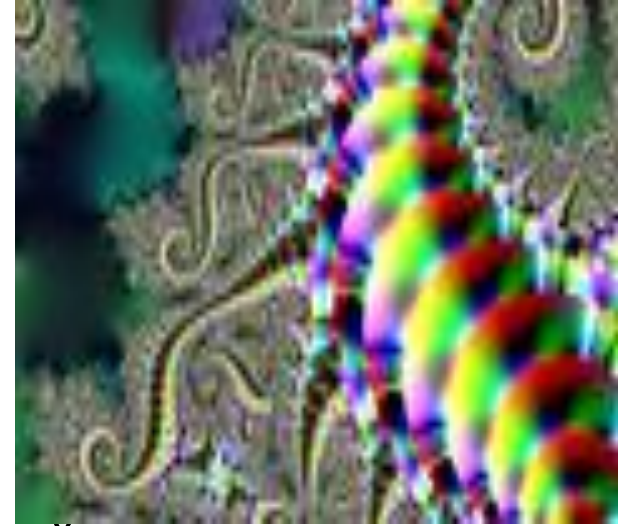
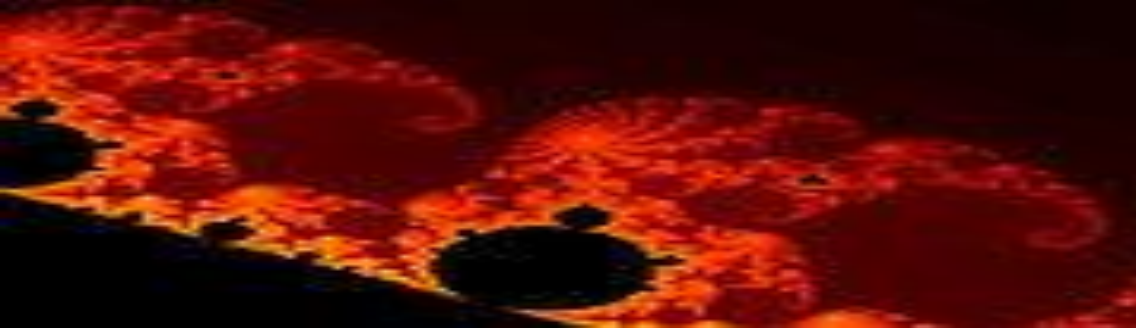
Б.Мандельброт. Фракталы и хаос.
Множество Мандельброта и другие
чудеса. Изд. РХД 2009

The Mandelbrot set and beyond.
Springer

Длина береговых линий



С. 2.3. Длина береговых линий как функция выбранного шага δ (км) [134].

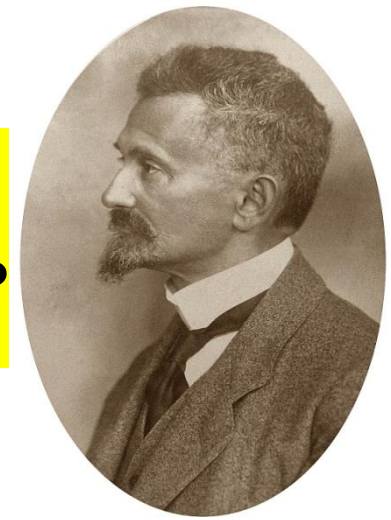


Определение Фрактала

- Фракталом называется структура, состоящая из частей, которые в каком-то смысле подобны целому.
- Фракталом называется множество, размерность Хаусдорфа-Безиковича которого строго больше его топологической размерности.
- Фракталы – множества точек, вложенные в пространство
- Топологическая размерность линии – 1, поверхности – 2, шара – 3



Фракталы. Размерность



Длина береговой линии стремится к величине

$$L(\delta) = a\delta^{1-D}$$

$$\delta \rightarrow 0 \quad N(\delta) \sim 1/\delta^D$$

Хаусдóрф Феликс
(Hausdorff Felix, 1868-1942)
–немецкий математик один
из основоположников
современной топологии.

Писатель.
Псевдоним Поль Монгре

Для обычной кривой множитель a равен количеству отрезков: $a=L_N$, а показатель D равен единице. Но для береговой линии Норвегии $D \sim 1,52$. Показатель D называется размерностью Хаусдорфа-Безиковича или фрактальной размерностью.

Альвеолы человеческого легкого

Оптическая
микроскопия – 80 кв. м

Электронная
микроскопия – 140 кв. м
 $D=2,17$



Мембраны

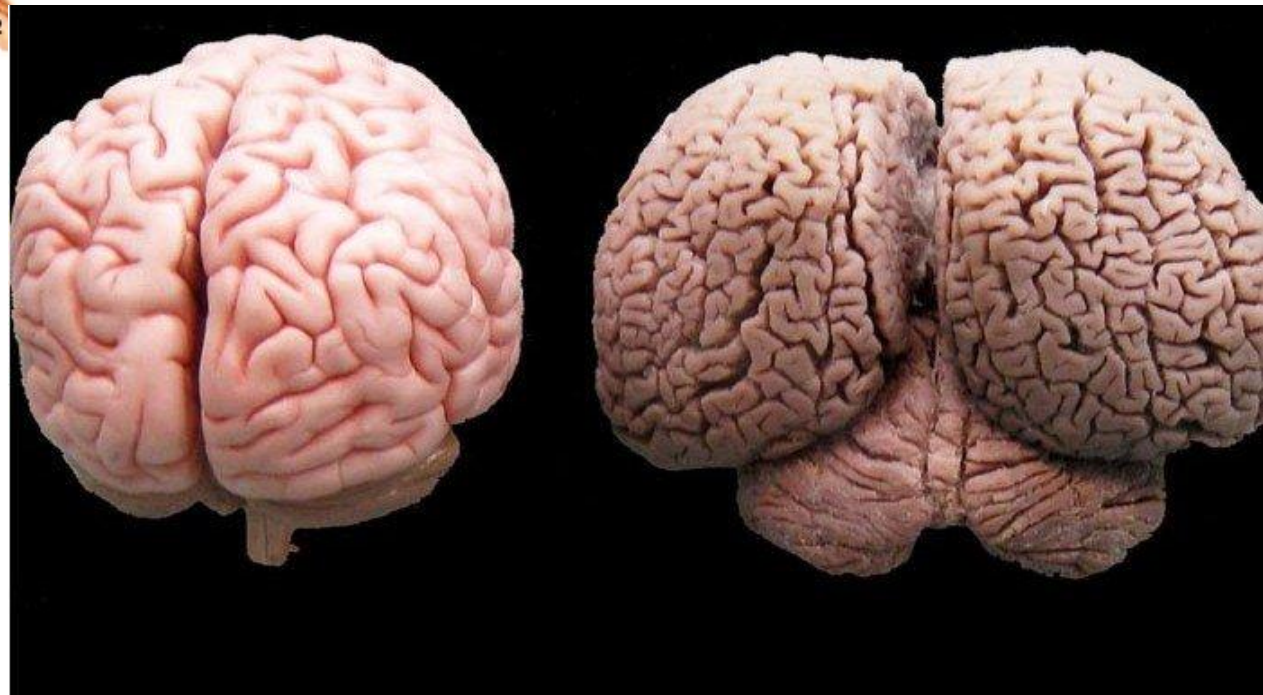
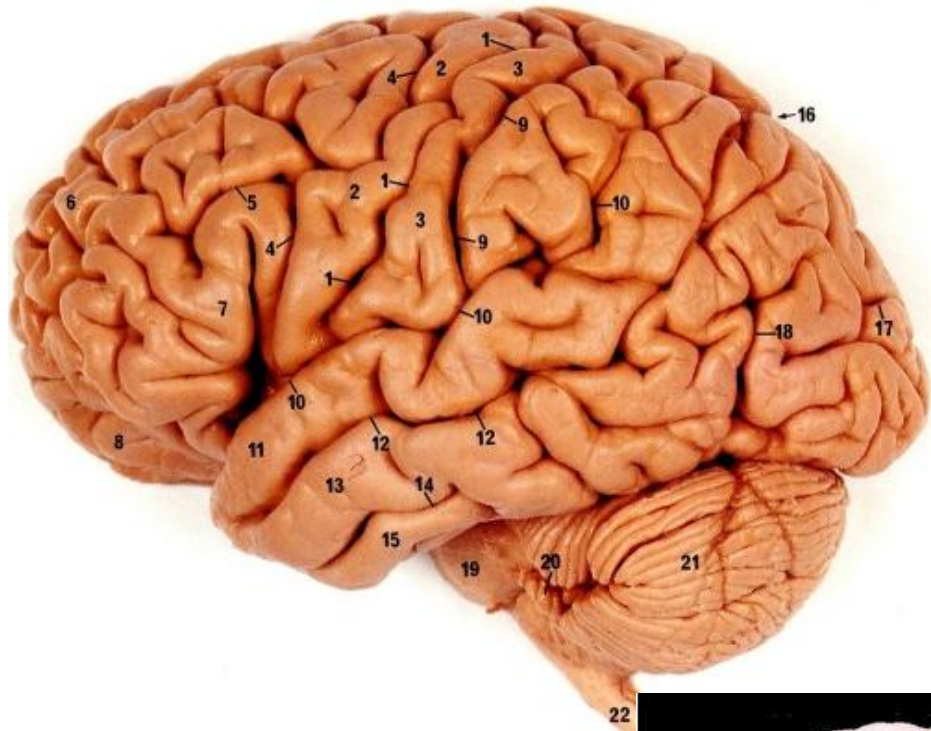
Субклеточные мембраны в клетках печени

Внешние митохондриальные мембраны $D=2,09$

Внутренние митохондриальные мембраны $D=2,53$



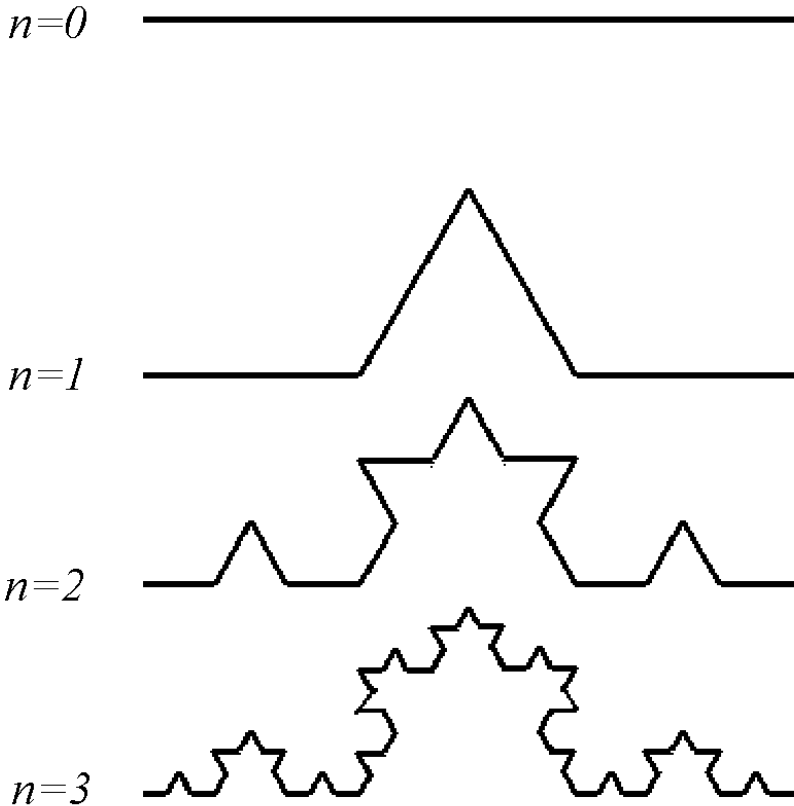
Поверхность человеческого мозга



Мозг человека и
дельфина

Кривая Коха.

Первые четыре шага построения.



фон Кох Нильс Фабьян Хельге (1870-1924),
шведский математик, автор основополагающих
работ по теории чисел

Длина кривой 1-го поколения $L(1/3) = 4/3$.
4 звена, длина каждого – $1/3$

Длина кривой 2-го поколения.

Число звеньев: $N=4^2=16$, длина каждого – $1/9$

Длина каждого звена: $\delta=3^{-n}$

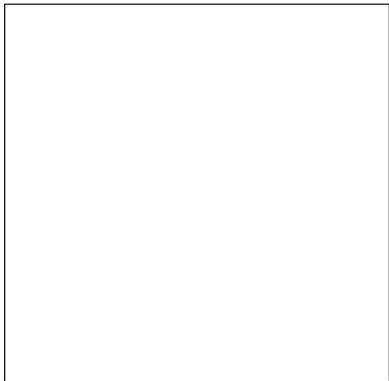
$n = -\ln \delta / \ln 3$

$L(\delta) = (4/3)^n = \delta^{1-D}$ $D = \ln 4 / \ln 3 \sim 1,2628$

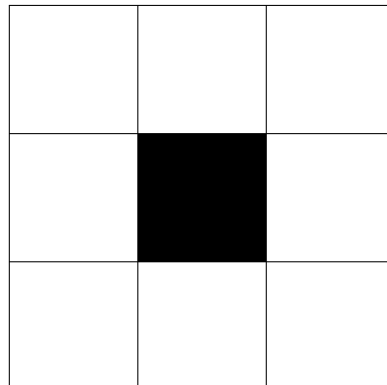
Построение ковра Серпинского. Начальный элемент – белый квадрат со стороной, равной 1. Из него вырезается черный квадрат, со стороной, равной $1/3$. Далее из каждого белого квадрата вырезается снова черный квадрат, со стороной, равной $1/3$ стороны белого квадрата. На рисунке показаны четыре поколения предфракталов.

Размерность подобия $D = \ln 8 / \ln 3 = 1,89\dots$

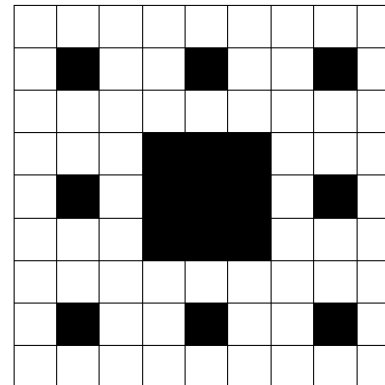
$n=0$



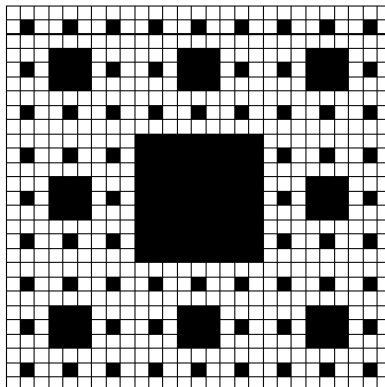
$n=1$



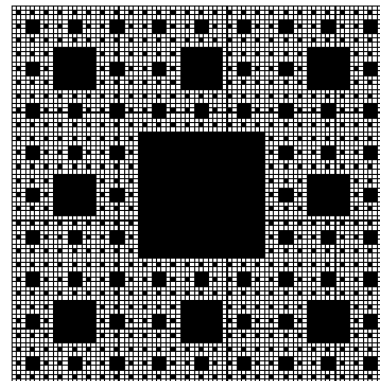
$n=2$



$n=3$

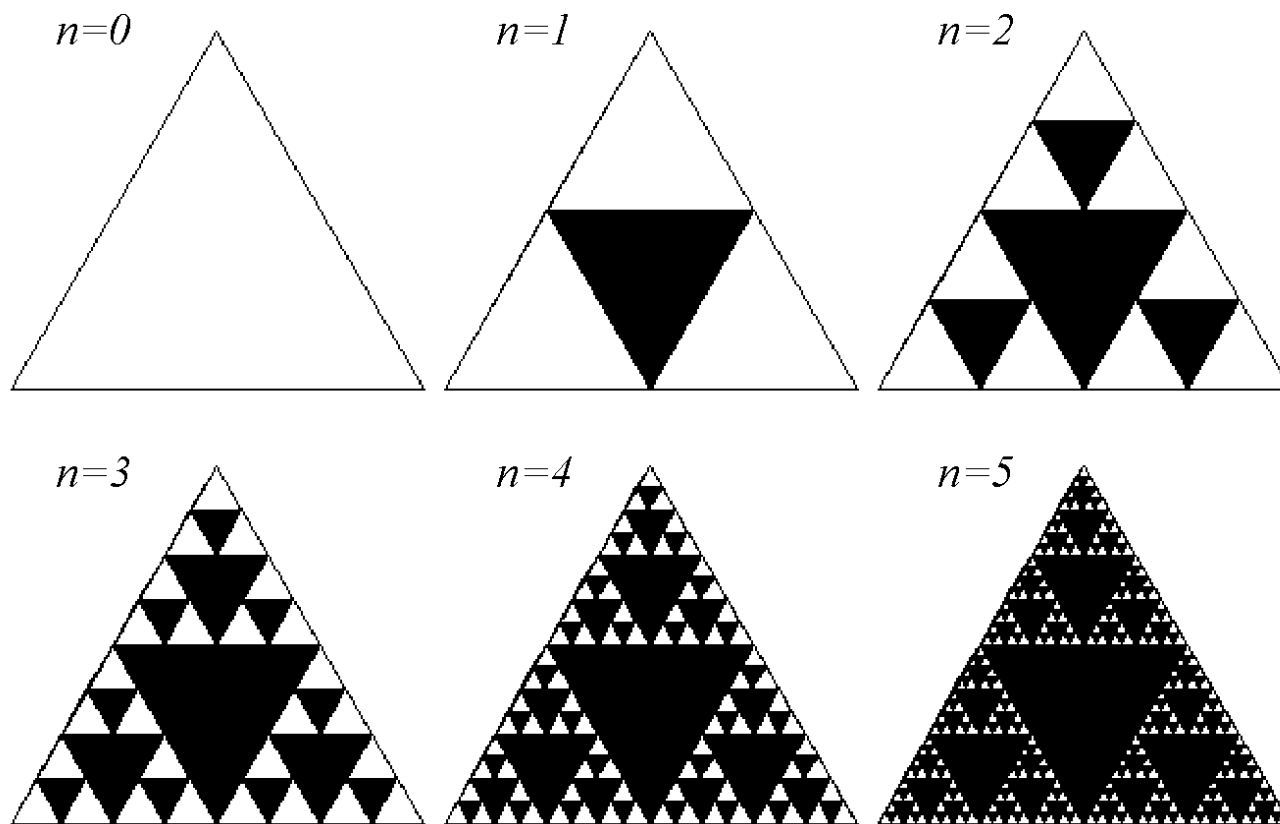


$n=4$

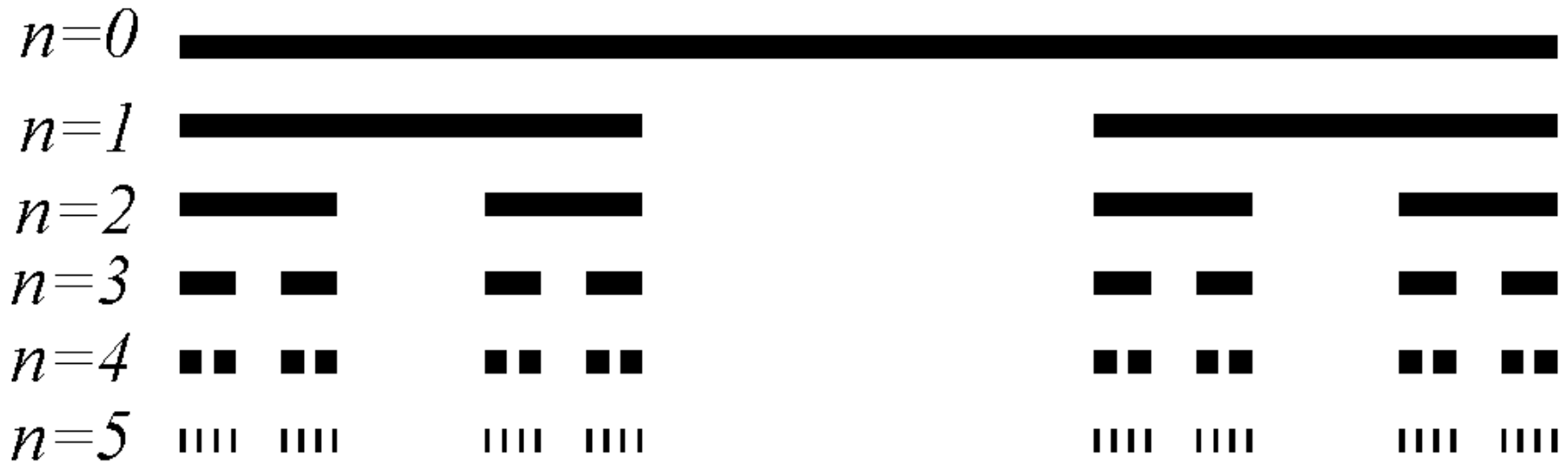


Вацлав Серпинский (1882-1969) – польский математик. Основные труды посвящены теории множеств. Теории чисел, топологии

Построение треугольной салфетки Серпинского. Начальный элемент – треугольник со всеми внутренними точками. Образующий элемент исключает из него центральный треугольник. На рисунке показаны пять поколений предфракталов. Фрактальное множество получается в пределе при бесконечно большом числе поколений и имеет фрактальную размерность $D = \ln 3 / \ln 2 = 1,58\dots$



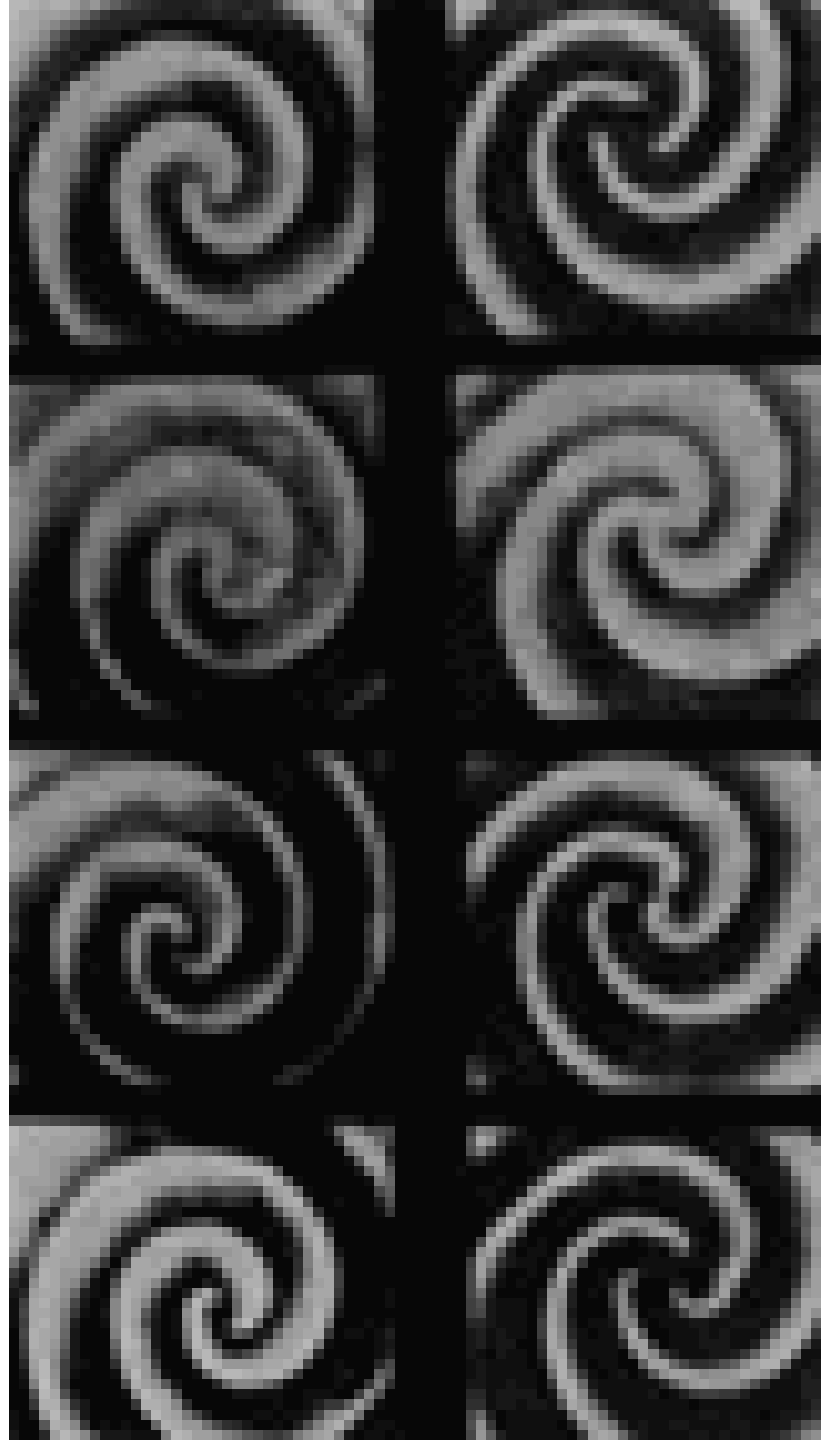
Канторово множество названо в честь великого математика Георга Кантора (1845-1918), открывшего его в 1883 г. Построение кривой Коха можно рассматривать как процесс добавления к отрезку все более мелких деталей. Построение канторова множества сводится к выбрасыванию из первоначального отрезка все более мелких отрезков



Подавление хаоса и управление хаосом

А.Ю.Лоскутов,
А.С.Михайлов.
Основы теории
сложных систем

ИКИ-РХД, 2007



Вопросы

- В чем смысл существования таких систем?
- Приведите примеры детерминированных систем с квазистохастическим поведением в своей области знания